



การปฐกท่อนาโนนการ์บอนโดยวิธีไอระเหยเคมีด้วยตัวเร่งปฏิกิริยาเหล็ก-นิกเกิล

ทิพวรรณ สายพิณ

วิทยานิพนธ์นี้เป็นส่วนหนึ่งของการศึกษาตามหลักสูตรปริญญาศาสตรมหาบัณฑิต
สาขาวิชาฟิสิกส์ คณะวิทยาศาสตร์
มหาวิทยาลัยอุบลราชธานี

พ.ศ. 2548

ISBN 974-523-062-6

ลิขสิทธิ์เป็นของมหาวิทยาลัยอุบลราชธานี



**GROWTH OF CARBON NANOTUBES BY CHEMICAL VAPOR
DEPOSITION WITH AN IRON-NICKEL CATALYST**

TIPPAWAN SAIPIN

**A THESIS SUBMITTED IN PARTIAL FULFILLMENT OF THE REQUIREMENTS
FOR THE DEGREE OF MASTER OF SCIENCE**

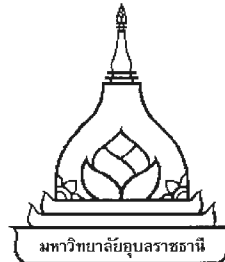
MAJOR PHYSICS

FACULTY OF SCIENCE

UBON RAJATANEERD UNIVERSITY

ISBN 974-523-062-6

COPYRIGHT OF UBON RAJATANEERD UNIVERSITY



ใบรับรองวิทยานิพนธ์

มหาวิทยาลัยอุบลราชธานี

ปริญญา วิทยาศาสตร์มหาบัณฑิต

สาขาวิชาฟิสิกส์ คณะวิทยาศาสตร์

เรื่อง การปฎิกรห์อนโน้มนึ่งของโดยคณะกรรมการสอบวิทยานิพนธ์

ผู้วิจัย พิพารณ์ สายพิม

ได้พิจารณาเห็นชอบโดยคณะกรรมการสอบวิทยานิพนธ์

.....
..... ประธานกรรมการ

(รองศาสตราจารย์ ดร.ภิญโญ ปันยารชุน)

.....
..... กรรมการ

(ผู้ช่วยศาสตราจารย์ ดร.อุดม ทิพราษ)

.....
..... กรรมการ

(ผู้ช่วยศาสตราจารย์ ดร.ศุภกร ภู่เกิด)

.....
..... กรรมการ

(ผู้ช่วยศาสตราจารย์ ดร.ธนานิทร นุตโถ)

.....
..... กรรมการ

(ผู้ช่วยศาสตราจารย์ ดร.อนุสรณ์ นิยมพันธ์)

.....
..... คณบดี

(ดร.จันทร์เพ็ญ อินทรประเสริฐ)

มหาวิทยาลัยอุบลราชธานี รับรองแล้ว

.....
.....

(ศาสตราจารย์ ดร.ประกอบ วิโรจนกุญ)

อธิการบดีมหาวิทยาลัยอุบลราชธานี

ปีการศึกษา พ.ศ. 2548

กิตติกรรมประกาศ

วิทยานิพนธ์ฉบับนี้สำเร็จลงได้ด้วยคุณภาพความกรุณา และความช่วยเหลืออย่างดีเยี่ยม จากผู้ช่วยศาสตราจารย์ ดร.อุดม ทิพราช อาจารย์พี่เลี้ยง (mentor) ขณะทำวิจัย อาจารย์ที่ปรึกษา (advisor) และประธานกรรมการที่ปรึกษาวิทยานิพนธ์ ผู้ช่วยศาสตราจารย์ ดร.ศุภกร ภู่เกิด หัวหน้าภาควิชาฟิสิกส์ และผู้ช่วยศาสตราจารย์ ดร.อนุสรณ์ นิยมพันธ์ กรรมการที่ปรึกษา วิทยานิพนธ์ ที่ให้คำแนะนำ คำปรึกษาเป็นอย่างดีเยี่ยม และตรวจสอบแก้ไขวิทยานิพนธ์ฉบับนี้จนสมบูรณ์ ผู้เขียนขอขอบพระคุณเป็นอย่างสูงไว้ ณ โอกาสนี้

ผู้เขียนได้ขอขอบพระคุณ รองศาสตราจารย์ ดร.ภิญโญ ปันยารชุน ประธานกรรมการสอบและอาจารย์ผู้สอนวิชาฟิล์มนิ่ง ที่ได้กรุณามาถ่ายทอดความรู้ ตลอดจนทักษะการทำฟิล์มนิ่งวิธีต่างๆ และ ผู้ช่วยศาสตราจารย์ ดร.นานินทร์ นุตโโร ที่ได้กรุณามาเป็นกรรมการสอบวิทยานิพนธ์และให้คำแนะนำเป็นอย่างดีเยี่ยม

ผู้เขียนรู้สึกเป็นหนึ่งในบุญคุณอย่างยิ่งต่อ Dr. Lee Chow และ Dr. Guangyu Chai University of Central Florida Orlando, Florida, USA. ที่ให้ความอนุเคราะห์สถานที่วิจัย เครื่องมือวิจัย ตลอดจนสนับสนุนอุปกรณ์ทดลอง รวมทั้งให้คำแนะนำอย่างดีเยี่ยม ขอขอบคุณ Dr. B. Roldan Cuenya คุณ Luis Katsuya Ono, คุณ Abhilash Vincent และ คุณ Enrique G. Ortiz ที่ได้ให้ความอนุเคราะห์ เครื่องมือเพื่อการทดสอบตัวอย่างตลอดจนคำแนะนำที่ดีเยี่ยม และขอขอบคุณ คุณ Fatma Salman เพื่อนที่ให้กำลังใจขณะทำการวิจัย

สุดท้ายขอรบกวนขอบพระคุณ คุณพ่อ คุณแม่ พี่และน้องที่ให้ความห่วงใยผู้วิจัยตลอดมา และขอขอบคุณ คุณคุณกริช สายพิณ ที่ให้การสนับสนุนทุกอย่างด้วยพลังอันยิ่งใหญ่ และบุตรสาวทั้งสามคน ที่เป็นแรงบันดาลใจที่ยิ่งใหญ่ที่สุด ซึ่งช่วยให้ผู้วิจัยมีความมานะพยายามอุดหนูจนประสบผลสำเร็จ

ทิพวรรณ สายพิณ

ผู้วิจัย

บทคัดย่อ

หัวข้อวิทยานิพนธ์ : การปลูกท่อนาโนคาร์บอนโดยวิธีไอระเหยเคมีด้วยตัวเร่งปฏิกิริยาเหล็ก-นิกเกิล

ผู้จัด : นางทิพวรรณ สายพิณ

ชื่อปริญญา : วิทยาศาสตรมหาบัณฑิต

สาขาวิชา : ฟิสิกส์ [ISBN 974-523-062-6]

ประธานคณะกรรมการที่ปรึกษา : ผู้ช่วยศาสตราจารย์ ดร.อุดม ทิพราษ

คำที่สำคัญ : ท่อนาโนคาร์บอน วิธีไอระเหยเคมี อนุภาคระดับนาโน ตัวเร่งปฏิกิริยา

เราได้ประสบความสำเร็จในการปลูกท่อนาโนคาร์บอนด้วยวิธีไอระเหยเคมี (Chemical Vapor Deposition, CVD) โดยใชอนุภาคระดับนาโน (nanoparticles) ของเหล็กและนิกเกิลเป็นตัวเร่งปฏิกิริยา และใชไฮมีเทน (methane) เป็นแหล่งกำเนิดการบ่อน ทำการตกเคลือบอนุภาคระดับนาโนของตัวเร่งปฏิกิริยานั้นแผ่นฐานรองซิลิโคนด้วยวิธีไอระเหยความร้อน (thermal evaporation) ภายใต้บรรยากาศของแก๊สอาร์กอนที่แปรค่าจาก 200 มิลลิ托ร์ ถึง 400 มิลลิ托ร์ ได้ตรวจสอบขนาดและศักยภาพสมบัติของตัวเร่งปฏิกิริยโดยใชกล้องจุลทรรศน์เออฟเอ็ม ควบคู่กับการใชกล้องจุลทรรศน์อิเล็กตรอนแบบส่อง粒粒 ท่อนาโนคาร์บอนถูกปลูกบนแผ่นฐานรองที่มีอนุภาคระดับนาโนของตัวเร่งปฏิกิริยา ที่อุณหภูมิแปรค่าระหว่าง 800 องศาเซลเซียส ถึง 1000 องศาเซลเซียส เราได้ศึกษาคุณสมบัติของท่อนาโนคาร์บอนด้วย กล้องจุลทรรศน์เออฟเอ็ม กล้องจุลทรรศน์อิเล็กตรอนแบบส่อง粒粒 และกล้องจุลทรรศน์อิเล็กตรอนแบบส่องผ่าน พบร่วมกันภาพของท่อนาโนคาร์บอน เช่น ความยาวและโครงสร้างของท่อนาโนคาร์บอนมีแนวโน้มแปรตามอุณหภูมิที่ปลูก อุณหภูมิการปลูกที่สูงกว่าจะให้ท่อนาโนคาร์บอนที่ยาวกว่า ความยาวของท่อนาโนคาร์บอนที่ปลูกที่อุณหภูมิอุณหภูมิ 900 องศาเซลเซียส มากกว่า 25 ไมโครเมตร ท่อนาโนคาร์บอนส่วนใหญ่เป็นเส้นตรง และเป็นชนิดผนังหลายชั้น (multi-walled carbon nanotubes) ท่อนาโนคาร์บอนเหล่านี้เหมาะสมที่จะได้รับการพัฒนาสำหรับการทำอุปกรณ์ปลดปล่อยอิเล็กตรอนภายใต้สถานที่ฟ้า (field emitting devices)

ABSTRACT

THESIS TITLE: GROWTH OF CARBON NANOTUBES BY CHEMICAL VAPOR
DEPOSITION WITH AN IRON-NICKEL CATALYST.

AUTHOR : IPPAWAN SAIPIN
DEGREE : MASTER OF SCIENCE (PHYSICS)
MAJOR : PHYSICS [ISBN 974-523-062-6]
CHAIR : ASST. PROF. UDOM TIPPARACH, Ph. D CHAIRMAN

KEYWORDS : CARBON NANOTUBES / CHEMICAL VAPOR DEPOSITION /
NANOPARTICLES / CATALYST

We have successfully grown carbon nanotubes by chemical vapor deposition (CVD) using particles of Fe : Ni nanosize as a catalyst and methane molecules as a carbon feedstock gas. The Fe : Ni nanoparticle catalysts were deposited on the silicon substrates by thermal evaporation at different argon atmospheres of pressures ranging from 200 mtorr to 400 mtorr. The sizes of the catalyst were examined using Atomic Force Microscopy (AFM) in conjunction with high resolution Scanning Electron Microscopy (SEM). Carbon Nanotubes were grown on the catalyst-coated silicon substrates. The growth temperatures were varied from 800 °C to 1000 °C. The samples were characterized by high resolution SEM and high resolution TEM. The quality of the carbon nanotubes such as length and structure strongly depends on the growth temperature. The length of carbon nanotubes are likely to vary to the growth temperature: the higher temperature, the longer carbon nanotubes. The length of the carbon nanotubes grown at 900 °C exceeds 25 micrometers. The most of carbon nanotubes are a straight line. The TEM images reveal that our carbon nanotubes are multiwalled. These carbon nanotubes are well qualified to further development for making field emitting devices.

สารบัญ

	หน้า
กิตติกรรมประกาศ	ก
บทคัดย่อภาษาไทย	ข
บทคัดย่อภาษาอังกฤษ	ค
สารบัญ	ง
สารบัญตาราง	น
สารบัญภาพ	ช
บทที่	
1. บทนำ	
1.1 ความสำคัญและความเป็นมา	1
1.2 วัตถุประสงค์ของการวิจัย	3
1.3 ขอบเขตของการศึกษาวิจัย	3
1.4 ผลที่คาดว่าจะได้รับจากการวิจัย	4
1.5 วิธีดำเนินการ	4
1.6 โครงสร้างของรายงานการวิจัย	4
2. สมบัติของท่อนาโนคาร์บอนและการสังเคราะห์	
2.1 สมบัติของธาตุคาร์บอน	6
2.2 สมบัติของท่อนาโนคาร์บอน	8
2.3 โครงสร้างของท่อนาโนคาร์บอน	8
2.4 การจำแนกชนิดของท่อนาโนคาร์บอน	10
2.5 ความเป็นไปได้ในการประยุกต์ท่อนาโนคาร์บอนเพื่อใช้ประโยชน์	11
2.6 กลไกการเกิด	15
2.7 การสังเคราะห์ท่อนาโนคาร์บอน	16
3. วิธีดำเนินการวิจัย	
3.1 การเตรียมตัวเร่งปฏิกิริยาโดยไอระเหยความร้อน	26
3.2 ขั้นตอนการสังเคราะห์ท่อนาโนคาร์บอน	27
3.3 การศึกษาสมบัติของตัวอย่างด้วยกล้องจุลทรรศน์ AF	29

สารบัญ (ต่อ)

	หน้า
3. การศึกษาสมบัติของตัวอักษรคั่วยกสื่องจุลทรรศน์อิเล็กตรอน	30
แบบส่องกราด	
3.5 การศึกษาสมบัติของตัวอักษรคั่วยกสื่องจุลทรรศน์อิเล็กตรอน	32
แบบส่องผ่าน	
4. ผลการทดลอง	
4.1 ตัวเร่งปฏิกริยาเหล็ก-นิกเกิลที่มีขนาดอนุภาชนะดับนานาโน	34
4.2 ท่อนานในการรับอน	39
4.3 การวิเคราะห์การกระจายพลังงาน	44
4.4 การวิเคราะห์ค่ายกสื่องจุลทรรศน์อิเล็กตรอนแบบส่องผ่าน	45
5. สรุป	
เอกสารอ้างอิง	50
ประวัติผู้วิจัย	55

สารบัญตาราง

หน้า

ตารางที่

2.1 ข้อสรุป 3 วิธีที่ใช้ในการสังเคราะห์ท่อนานาในครึ่งบน

23

สารบัญภาพ

หน้า

ภาพที่

2.1	โครงสร้างของคาร์บอน	7
2.2	โครงสร้างของแผ่นแกร์ไฟฟ์ และการหมุนเป็นท่อนาโนคาร์บอน	10
2.3	แสดง Tip วางในสถานที่ฟีฟ้า field-enhancement factor ขึ้นอยู่กับ aspect ratio (h/r)	12
2.4	โครงสร้างของทรานซิสเตอร์ที่สร้างจากท่อนาโนคาร์บอน	13
2.5	ปลายเข็มของ AFM ที่ทำการหักห่อนาโนคาร์บอนแบบพนังหลายชั้น	14
2.6	รูปแบบการก่อตัวของท่อนาโนคาร์บอน	16
2.7	ไดอะแกรมแสดงการสังเคราะห์แบบอาร์คิดิศcharจ	17
2.8	ไดอะแกรมแสดงการสังเคราะห์แบบยิงด้วยเลเซอร์	19
2.9	ไดอะแกรมแสดงการสังเคราะห์แบบ plasma enhanced CVD	20
2.10	ไดอะแกรมแสดงวิธี thermal chemical vapor deposition	21
2.11	ไดอะแกรมแสดง Alcohol catalytic chemical vapor deposition	22
3.1	ไดอะแกรมแสดงขั้นตอนการวิจัย	25
3.2	ไดอะแกรมแสดง vacuum chamber สำหรับการเตรียมตัวเร่งปฏิกิริยาบนแผ่นฐานรอง	27
3.3	ไดอะแกรมแสดงเตาปฏิกิริยา (reactor)	28
3.4	ไดอะแกรมอย่างง่ายของกล้องจุลทรรศน์เอกอัณณี	29
3.5	ไดอะแกรมอย่างง่ายของกล้องจุลทรรศน์อิเล็กตรอนแบบส่องกระดาด	31
3.6	ไดอะแกรมอย่างง่ายของกล้องจุลทรรศน์อิเล็กตรอนแบบส่องผ่าน	33
3.7	ภาพกริดทองแดงขนาด 3 mm ถ่ายภาพด้วยกล้องกำลังขยาย 100 เท่า	34
4.1	แสดงอนุภาคตัวเร่งปฏิกิริยาเหล็ก-นิกเกิล สังเคราะห์ที่ความดันแก๊ส 200 mtorr ก่อน anneal	35
4.2	แสดงขนาดของอนุภาคตัวเร่งปฏิกิริยาเหล็ก-นิกเกิล สังเคราะห์ที่ความดันแก๊ส 200 mtorr หลัง anneal	36

สารบัญภาพ (ต่อ)

หน้า

ภาพที่

4.3 (a) แสดงขนาดของอนุภาคตัวเร่งปฏิกิริยาสังเคราะห์ที่ความดันบรรยายกาศแก๊ส าร์กอน 300 mtorr หลัง anneal	37
(b) ภาพจากกล้องจุลทรรศน์ AFM แสดงความหนาแน่นของอนุภาคตัวเร่ง ปฏิกิริยา เหล็ก-nickel หลัง anneal	37
4.4 (a) แสดงขนาดของอนุภาคตัวเร่งปฏิกิริยา สังเคราะห์ที่ความดันบรรยายกาศแก๊ส าร์กอน 400 mtorr หลัง anneal	38
(b) ภาพจากกล้องจุลทรรศน์ เออฟเอ็ม แสดงความหนาแน่นของอนุภาคตัวเร่ง ปฏิกิริยา เหล็ก-nickel หลัง anneal	38
4.5 แสดงการ์บอนไฟเบอร์ หรือ อะมอร์ฟิสการ์บอน	40
4.6 แสดงท่อนาโนการ์บอนปลูกที่อุณหภูมิ 860 องศาเซลเซียส	41
4.7 แสดงลักษณะของท่อนาโนการ์บอนที่ปลูกบนตัวเร่งปฏิกิริยาที่สังเคราะห์ภายใต้ ความดันบรรยายกาศแก๊ส氩 300 mtorr ที่อุณหภูมิ 900 องศาเซลเซียส	42
4.8 แสดงท่อนาโนการ์บอน สังเคราะห์ที่อุณหภูมิ 900 องศาเซลเซียส	43
(a) แสดงลักษณะของท่อเส้นตรง	
(b) แสดงลักษณะของท่อนาโนการ์บอนที่เป็นข้อต่อ	43
4.9 ข้อมูล EDS ธาตุที่เป็นองค์ประกอบของตัวอย่างที่เกิดท่อนาโนการ์บอน	44
4.10 ท่อนาโนการ์บอนที่ตรวจวัดด้วยกล้องจุลทรรศน์อิเล็กตรอนแบบส่องผ่าน	45
4.11 แสดงผนังของท่อนาโนการ์บอนที่ตรวจวัดด้วยกล้องจุลทรรศน์อิเล็กตรอน แบบส่องผ่าน	46

บทที่ 1

บทนำ

1.1 ความสำคัญและความเป็นมา

วัสดุระดับนาโน (nano-sized materials) คือวัสดุที่มีขนาดระดับนาโนเมตรจากหนึ่งถึงพลากิริยานาโนเมตร เมื่อวัสดุหรือสารมีขนาดระดับนี้คุณสมบัติและพฤติกรรมต่าง ๆ ของวัสดุ เช่น การนำไฟฟ้า คุณสมบัติเชิงกล คุณสมบัติทางแม่เหล็กจะแตกต่างจากวัสดุชนิดเดียวกันเมื่อมันมีขนาดใหญ่ (bulk) เป็นอย่างมาก¹ เช่น เมื่อห้องคำมีอนุภาคขนาดนาโนเมตร สมบัติทางกายภาพจะเปลี่ยนไป เช่น สภาพการนำไฟฟ้าจะเปลี่ยนจากตัวนำไฟฟ้าไปเป็นสารกึ่งตัวนำ สีจะเปลี่ยนจากสีเหลืองไปเป็นสีแดงส้ม และคุณสมบัติทางเคมีเปลี่ยนจากโลหะที่ไม่ไวต่อปฏิกิริยา เป็นโลหะที่ไวต่อปฏิกิริยา เช่นเป็นตัวเร่งปฏิกิริยาที่ดีเป็นต้น การศึกษาเพื่อเพิ่มพูนความเข้าใจพื้นฐานในศาสตร์เกี่ยวกับวัสดุระดับนาโนสเกลได้เป็นที่รู้จักกันดีในสาขานาโนไซน์ (nanoscience) และสาขานาโนไซน์ได้กลายมาเป็นนาโนเทคโนโลยี (nanotechnology) ซึ่งเกี่ยวข้องกับความสามารถ ที่จะสร้างอุปกรณ์ที่ทำหน้าที่ได้บนพื้นฐานของการประกอบที่ควบคุมได้ของวัสดุระดับนาโนสเกลเพื่อการใช้งานทางด้านเทคโนโลยีเฉพาะด้าน ปัจจุบันความสำคัญทางด้านนาโนไซน์และด้านนาโนเทคโนโลยีได้รับความสนใจอย่างมากในประเทศไทย ทั่วโลกรวมทั้งประเทศไทย²

ท่อนาโนคาร์บอน (carbon nanotube, CNTs) เป็นวัสดุที่ได้รับความสนใจมากที่สุดในบรรดา nanoวัสดุ เนื่องจากมันมีศักยภาพสูงในทางเทคโนโลยีและสมบัติที่เด่นในทางฟิสิกส์ เช่น สมบัติทางกล ทางไฟฟ้า อิเล็กทรอนิกส์ และ ความมีเสถียรภาพทางเคมี (chemical stability) คุณสมบัติที่น่าสนใจอีกด้านหนึ่ง คือท่อนาโนคาร์บอน เป็นวัสดุที่มีศักยภาพในการนำไปสู่การสร้างอุปกรณ์อิเล็กทรอนิกส์ระดับโมเลกุล (molecular devices) เช่น อุปกรณ์ตรวจวัดระดับนาโน³ (nanosensors) ทรานซิสเตอร์อิเล็กตรอนเดี่ยว⁴ (single electron transistors) electrochemical energy storage⁵ และ field emitting devices เป็นแหล่งกำเนิดอิเล็กตรอนที่สำคัญ เช่น หลอดเอ็กซ์เรย์⁶ (x-ray tube) ประสีทิชภาพสูง จอแสดงผลแบบแบน (field emission flat panel displays) เจ็มของ Atomic Force Microscope⁷ (AFM Tip) เป็นแหล่งกำเนิดอิเล็กตรอน (electron gun) สำหรับกล้องจุลทรรศน์อิเล็กตรอน และเป็นหัวใจสำคัญใน vacuum microelectronics⁸ อื่นๆ นอกจากนี้ ท่อนาโนการ์บอนสามารถนำไปเป็นส่วนผสมในวัสดุอื่นๆ เพื่อเพิ่มคุณสมบัติทางกายภาพ ทั้งความแข็งแกร่ง การทนอุณหภูมิ การมีน้ำหนักเบา ความสามารถนำไฟฟ้าและนำความร้อนได้ดี และความยืดหยุ่นสูง ไม่แตกหักง่าย แม้จะถูกโถงอกก็สามารถกลับคืนสู่สภาพเดิมได้ ด้วยคุณสมบัติที่หลากหลายของ

ท่อนาโนคาร์บอนนี้ จึงทำให้ได้รับศึกษาวิจัยและประยุกต์ใช้อย่างหลากหลายไม่ว่าจะเป็นทางการแพทย์ วิศวกรรม หรือในทางวิทยาศาสตร์ อย่างไรก็ตาม อุปสรรคที่สำคัญในการนำท่อนาโนไปใช้ในอุปกรณ์จริงคือ การที่ไม่สามารถควบคุมขนาดและทิศทาง ตำแหน่งของการเกิด การควบคุมความสามารถในการจัดเรียงตัวของอะตอมที่ยึดกันในโครงสร้างของ nanotube chirality อันเป็นตัวกำหนดพฤติกรรมสมบัติการเป็นโลหะ หรือการเป็นสารกึ่งตัวนำของท่อนาโนคาร์บอน รวมทั้งการเคลื่อนย้าย การหยินจับ (manipulating) ท่อนาโนคาร์บอนมาใช้ประโยชน์ถือเป็นปัญหาสำคัญตลอดจนเทคนิคและวิธีการสังเคราะห์ท่อนาโนคาร์บอนวิธีต่างๆ เป็นที่สนใจของนักวิจัยอย่างต่อเนื่อง เพื่อนำไปสู่การสังเคราะห์ท่อนาโนคาร์บอนที่มีคุณภาพและสมบัติตามที่ต้องการ

ปัจจุบันมีวิธีหลัก 3 วิธีที่เป็นที่คงคู่ในของบรรดาเหล่านักวิจัย ซึ่งแต่ละเทคนิควิธีการสังเคราะห์ได้ให้คุณภาพท่อนาโนคาร์บอนแตกต่างกัน และแต่ละวิธีมีข้อดี ข้อเสียแตกต่างกัน อาทิ เช่น วิธีการอาร์คแท่งคาร์บอน⁹ (arc discharge) วิธีนี้ถ้าใช้โลหะเป็นตัวเร่งปฏิกิริยา (catalyst) จะได้ท่อนาโนคาร์บอนชนิดผนังเดียว (single-walled carbon nanotubes, SWCNTs) และ ที่ไม่ใช้โลหะเป็นตัวเร่งปฏิกิริยาจะได้ท่อนาโนคาร์บอนชนิดผนังหลายชั้น (multi-walled carbon nanotubes, MWCNTs) ซึ่งข้อดีเป็นวิธีที่ง่ายและมีค่าใช้จ่ายถูก แต่ท่อนาโนคาร์บอนที่ได้จะมีขนาดของท่อไม่สม่ำเสมอและมีสิ่งเจือปนค่อนข้างมากวิธีการสังเคราะห์โดยการอาบด้วยเลเซอร์ของแท่งแก๊สไฟฟ์¹⁰ (pulsed-laser vaporization) จะได้ท่อนาโนคาร์บอนที่มีความบริสุทธิ์สูง แต่มีค่าใช้จ่ายมาก เนื่องจากต้องใช้เลเซอร์แยกอะตอมของคาร์บอน และวิธีไอระเหยทางเคมี¹¹ (chemical vapor deposition, CVD) เป็นวิธีสังเคราะห์ท่อนาโนคาร์บอนที่มีต้นทุนการผลิตต่ำ เป็นวิธีที่นิยมใช้สังเคราะห์ท่อนาโนคาร์บอนในระดับอุตสาหกรรม เนื่องจากเป็นวิธีที่สามารถสังเคราะห์ได้ทั้งท่อนาโนคาร์บอนชนิดผนังเดียว และ ท่อนาโนคาร์บอนชนิดผนังหลายชั้น ข้อดีกับชนิดและขนาดของโลหะเป็นตัวเร่งปฏิกิริยา กระบวนการสังเคราะห์ท่อนาโนคาร์บอนวิธีนี้อาศัยการก่อรูปของท่อนาโนคาร์บอนบนแผ่นฐานรอง (substrate) ซึ่งชนิดของแผ่นฐานรอง ถือเป็นปัจจัยหนึ่งที่มีผลต่อการเกิดท่อนาโนคาร์บอน แผ่นฐานรองที่นิยมคือ ซิลิโคน ควรที่ และแมกนีเซียมออกไซด์ เป็นต้น การปลูกท่อนาโนคาร์บอนบนแผ่นฐานรอง จำเป็นต้องอาศัยตัวเร่งปฏิกิริยา¹² ตัวเร่งปฏิกิริยาที่นำมาใช้ได้แก่โลหะทรานซิชัน (transition) ซึ่งโลหะแต่ละชนิดให้ผลการสังเคราะห์ท่อนาโนคาร์บอนต่างกันรายงานความสำเร็จในการควบคุมรูปแบบการเกิด และตำแหน่งของการปลูกท่อนาโนคาร์บอนที่ปลูกโดยไอระเหยทางเคมี เทคนิคการสังเคราะห์วิธีนี้ ใช้แก๊สไฮโดรคาร์บอนเป็นแหล่งกำเนิดอะตอมการบอน และวิธีนี้ได้รับการพิสูจน์แล้วว่า เป็นเทคนิควิธีที่มีประสิทธิภาพสามารถที่จะสังเคราะห์ท่อนาโนคาร์บอนที่มีความสะอาดสูง ปราศจากสิ่งเจือปน หัวใจสำคัญของการสังเคราะห์ท่อนาโนคาร์บอนคือตัวเร่งปฏิกิริยา ตัวเร่งปฏิกิริยาในการสังเคราะห์ท่อนาโนคาร์บอน

โดยวิธีไอระเหยเคมีโดยทั่วไป คือโลหะทรายซิชั่น เช่น เหล็ก (Fe) nickel (Ni) โคบอล (Co) โมลิเดียม (Mo) หรือใช้โลหะเหล่านี้ผสมกับโลหะอื่น เช่น อลูมิเนียม (Al)¹³

การปักรูห่อนาโนคาร์บอนด้วยการใช้อุณภูมิตัวเร่งปฏิกิริยาขนาด 1-7 นาโนเมตร จะได้ห่อนาโนคาร์บอนพนังหลายชั้นเดียว และถ้าอุณภูมิตัวเร่งปฏิกิริยาที่มีขนาดใหญ่กว่าหนึ่งจะได้ห่อนาโนคาร์บอนพนังหลายชั้น¹⁴ นอกจากนี้รายงานการวิจัยของหลายกลุ่มได้ศึกษาวิจัยการสังเคราะห์ห่อนาโนคาร์บอนด้วยวิธีไอระเหยเคมีโดยใช้สารประกอบ $Fe(Co)_5$ เป็นตัวเร่งปฏิกิริยา และเตรียมตัวเร่งปฏิกิริยาให้มีขนาดของอนุภาคแตกต่างกัน¹⁵ การสังเคราะห์ห่อนาโนคาร์บอนด้วยวิธี ไอระเหยเคมีที่ใช้ Fe-Mo เป็นตัวเร่งปฏิกิริยา พบว่าขนาดของห่อนาโนคาร์บอนขึ้นอยู่กับขนาดของตัวเร่งปฏิกิริยา¹⁶ จะเห็นได้ว่างานวิจัยเหล่านี้บ่งบอกให้ทราบว่าขนาดของตัวเร่งปฏิกิริยาเป็นปัจจัยหนึ่งในการกำหนดขนาดของเส้นผ่าศูนย์กลางของห่อนาโนคาร์บอน

นอกจากนี้แล้ว อุณหภูมิยังเป็นปัจจัยหนึ่งในการกำหนดคุณภาพของห่อนาโนคาร์บอน เช่น ความยาวและโครงสร้างของห่อนาโนคาร์บอน ความยาวของห่อนาโนคาร์บอนมีแนวโน้มแปรตามอุณหภูมิขณะสังเคราะห์ ถ้าสังเคราะห์ห่อนาโนคาร์บอนด้วยที่อุณหภูมิต่ำประมาณ 400-800 องศาเซลเซียส จะได้ห่อนาโนคาร์บอนที่มีวนโค้งหรือหยักงอ มีคาร์บอนไฟเบอร์เจือปนมาก ถ้าสังเคราะห์ที่อุณหภูมิสูงประมาณ 900 องศาเซลเซียส ขึ้นไปจะได้ห่อนาโนคาร์บอนที่เป็นเส้นตรง มีความยาวมาก¹⁷ มีคาร์บอนไฟเบอร์เจือปนน้อย

1.2 วัตถุประสงค์ของการวิจัย

จุดประสงค์ของการวิจัยเพื่อ ศึกษาผลของอนุภาคตัวเร่งปฏิกิริยาระดับนาโนเหล็ก-nickel บนฐานรองของแผ่นซิลิโคนต่อการสังเคราะห์ห่อนาโนคาร์บอน โดยวิธีไอระเหยทางเคมี โดยเน้นการศึกษานาโนอุณภูมิระดับนาโนของตัวเร่งปฏิกิริยาต่อการเกิดห่อนาโนคาร์บอน และผลของอุณหภูมิระหว่าง 800 ถึง 1000 องศาเซลเซียสต่อการเกิดห่อนาโนคาร์บอน

1.3 ขอบเขตของการศึกษาวิจัย

ในงานวิจัยนี้มุ่งศึกษาการสังเคราะห์ห่อนาโนคาร์บอนด้วยวิธีไอระเหยเคมี บนแผ่นฐานรอง Si ที่มีอนุภูมิระดับนาโน ของเหล็กและnickel เป็นตัวเร่งปฏิกิริยา โดยการเตรียมขนาดของตัวเร่งปฏิกิริยานะ曼และฐานรองซิลิโคนด้วยวิธีไอระเหยความร้อน (thermal evaporation) ที่บรรยายของแก๊สอาร์กอน 200, 300 และ 400 มิลลิโทร์ (mtorr) จากนั้นนำไปเผาบนฐานรองที่ได้ไปปักรูห่อนาโนคาร์บอนที่อุณหภูมิประมาณ 800-1000 องศาเซลเซียส ศึกษานาโนของอนุภาค

ตัวเร่งปฏิกิริยาโดยใช้ Atomic Force Microscope (AFM) กล้องจุลทรรศน์อิเล็กตรอนแบบส่องกราด (Scanning Electron Microscope, SEM) จากนั้นทำการสังเคราะห์ท่อนาโนคาร์บอนโดยวิธีไอระเหยเคมี แล้วทำการศึกษาลักษณะของท่อนาโนคาร์บอนด้วยกล้องจุลทรรศน์อิเล็กตรอนแบบส่องกราดในหัวข้อสุดท้ายเรื่องศึกษาคุณลักษณะของท่อนาโนคาร์บอน เพื่อปั่งบอกว่าท่อนาโนคาร์บอนที่สังเคราะห์ได้เป็นแบบผนังชั้นเดียวหรือผนังหลายชั้นด้วยกล้องจุลทรรศน์อิเล็กตรอนแบบส่องผ่าน (Scanning Transmission Electron Microscope, TEM)

1.4 ผลที่คาดว่าจะได้รับจากการวิจัย

ผลจากการศึกษาวิจัยนี้จะทำให้ผู้วิจัยเกิดความรู้ความเข้าใจเกี่ยวกับขนาดกราด簇 (cluster) ของอนุภาคตัวเร่งปฏิกิริยาที่เป็นอนุภาคระดับนาโนของ Fe : Ni ที่มีผลต่อขนาดของ ท่อนาโนคาร์บอน รวมทั้งอุณหภูมิที่ใช้ในการปลูกต่อการเกิดท่อนาโนคาร์บอน เพิ่มพูนทักษะกระบวนการ และการควบคุมการปลูกท่อนาโนคาร์บอนให้เกิดความชำนาญ สามารถปลูกท่อนาโนคาร์บอนให้มีขนาดและคุณสมบัติตามที่ต้องการ และเป็นแนวทางในการทำการวิจัยเกี่ยวกับท่อนาโนคาร์บอนเพื่อ เป็นประโยชน์ในการพัฒนาและการวิจัยในระดับสูงต่อไป

1.5 วิธีดำเนินการ

การศึกษาวิจัยนี้ขึ้นตอนเริ่มต้น คือการเตรียมอนุภาคระดับนาโนของโลหะตัวเร่งปฏิกิริยา Fe : Ni น้ำแ芬ฐานรองซิลิกอน เพื่อใช้เป็นตัวเร่งปฏิกิริยาสำหรับการปลูกท่อนาโนคาร์บอน จากนั้น ศึกษาระดับขนาดของอนุภาคของตัวเร่งปฏิกิริยา โดยใช้ AFM และกล้องจุลทรรศน์แบบส่องกราด เมื่อได้แ芬ฐานรองที่เคลือบด้วยโลหะตัวเร่งปฏิกิริยาแล้ว นำแ芬ฐานรองไปใช้เพื่อปลูกท่อนาโนคาร์บอนโดยวิธีไอระเหยทางเคมีที่อุณหภูมิที่perc่าระหว่าง 800 ถึง 1000 องศาเซลเซียส สุดท้าย ศึกษาลักษณะการเกิดของท่อนาโนคาร์บอน โดยการใช้กล้องจุลทรรศน์อิเล็กตรอนแบบส่องกราด และ ศึกษาชนิดของท่อนาโนคาร์บอนโดยการใช้กล้องจุลทรรศน์อิเล็กตรอนแบบส่องผ่าน

1.6 โครงสร้างของรายงานการวิจัย

วิทยานิพนธ์เล่มนี้เป็นการสรุปและรวมผลงานวิจัยที่ได้พิมพ์ในวารสารและผลงานที่ได้รับการนำเสนอผลงานของผู้วิจัยในการประชุมทางวิชาการ วิทยาศาสตร์และเทคโนโลยีแห่งประเทศไทย ครั้งที่ 31 ณ เทคโนธานี มหาวิทยาลัยเทคโนโลยีสุรนารี จังหวัดนครราชสีมา

Chiang Mai University Journal และ Thai Physics Society ในการประชุม Siam Physics Congress 2006 เนื้อหาประกอบด้วย 5 บท ดังนี้

บทที่ 1 บทนำซึ่งจะกล่าวถึงที่มาของปัญหา วัตถุประสงค์ของการวิจัย รายงานการวิจัยที่เกี่ยวข้อง ผลที่คาดว่าจะได้รับจากการศึกษาวิจัย

บทที่ 2 กล่าวถึงความสำคัญและสมบัติของธาตุคาร์บอน สมบัติของท่อนาโนคาร์บอน กลไกการเกิดท่อนาโนคาร์บอน วิธีการสังเคราะห์ ความเป็นไปได้ในการประยุกต์ใช้ประโยชน์ของท่อนาโนคาร์บอน

บทที่ 3 กล่าวถึงวิธีการดำเนินการศึกษาวิจัยซึ่งประกอบด้วย วิธีการเตรียมตัวเร่งปฏิกิริยา บนแผ่นฐานรอง วิธีการศึกษาลักษณะของตัวเร่งปฏิกิริยา การสังเคราะห์ท่อนาโนคาร์บอนด้วยวิธีไอระเหยเคมี และการศึกษาลักษณะของท่อนาโนคาร์บอน

บทที่ 4 เป็นการรายงานผลการศึกษาวิจัย ซึ่งจะกล่าวถึงผลของความดันบรรยายกาศของแก๊สอาร์กอนที่มีต่อน้ำดของอนุภาคระดับนาโนของตัวเร่งปฏิกิริยา ขนาดกระเจิงของอนุภาคตัวเร่งปฏิกิริยาที่เป็นอนุภาคระดับนาโนของ Fe : Ni ต่อน้ำดของท่อนาโนคาร์บอน อุณหภูมิในการปลูกต่อการเกิดท่อนาโนคาร์บอน ลักษณะของท่อนาโนคาร์บอนที่ได้จากการสังเคราะห์

บทที่ 5 บทสรุปผลการศึกษาวิจัย แนวทางการศึกษาวิจัยในอนาคต

บทที่ 2

สมบัติของท่อนาโนคาร์บอนและการสังเคราะห์

เนื้อหาประกอบด้วย 2 ส่วน คือ ส่วนแรกเป็นเนื้อหาที่เกี่ยวข้องกับท่อนาโนคาร์บอนและทฤษฎีที่เกี่ยวข้องกับการสังเคราะห์ท่อนาโนคาร์บอน ประกอบด้วย สมบัติของชาตุかるบอน ท่อนาโนคาร์บอน โครงสร้าง ชนิดของท่อนาโนคาร์บอน และการประยุกต์ท่อนาโนคาร์บอนเพื่อใช้ประโยชน์ ส่วนที่สองเป็นเนื้อหาที่เกี่ยวข้องกับการสังเคราะห์ท่อนาโนคาร์บอน ประกอบด้วย กลไกการเกิดท่อนาโนคาร์บอน วิธีการสังเคราะห์แบบอาร์คิดิชาร์จ (arc discharge) วิธีการสังเคราะห์แบบการยิงด้วยเลเซอร์ (laser ablation) และ วิธีการสังเคราะห์แบบไอะราเวย์เคมี (chemical vapor disposition)

2.1 สมบัติของชาตุかるบอน

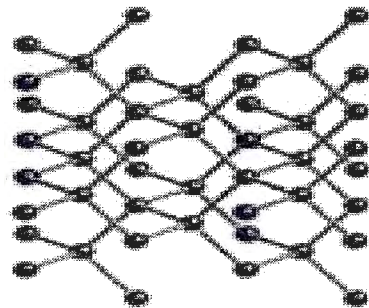
คาร์บอนคือชาตุที่เป็นองค์ประกอบพื้นฐานสำคัญของสิ่งมีชีวิต อาจถือได้ว่าร่างกายของสิ่งมีชีวิตทุกชนิด ไม่เลกุลของสารอินทรีย์ เสื่อผ้าที่เราร่วมใส่ อาหารที่เรารับประทาน น้ำมันเชื้อเพลิงและอื่นๆ อีกมาก ซึ่งล้วนมีคาร์บอนเป็นองค์ประกอบที่สำคัญ นอกจากนี้ชาตุかるบอนยังมีการกระจายตัวในธรรมชาติ เช่น อยู่ในรูปของสารประกอบแคลเซียมcarbonate ถ่านหิน ปิโตรเลียม และแก๊สธรรมชาติ เช่น แก๊สคาร์บอนไดออกไซด์ แก๊สมีเทน และแก๊ส อื่นๆ อีกเป็นจำนวนมาก คาร์บอนเป็นชาตุที่มีลักษณะพิเศษคือมีโครงสร้าง 4 แบบ ดังนี้

1. แบบมีโครงสร้างแข็งแรงทั้งสามมิติ โดยที่อะตอมของคาร์บอนจะเกาะยึดกันด้วยพันธะโค瓦เลนท์ (covalent bond) กับคาร์บอนอะตอมอื่น 4 อะตอม ซึ่งอยู่ที่มุมของรูปทรงสี่เหลี่ยมและแต่ละอะตอมของคาร์บอนที่มุมของทรงสี่เหลี่ยมจะสร้างพันธะกับอะตอมของชาตุอื่นอีก 3 อะตอมต่อ ๆ ไป เช่น เพชรมีโครงสร้างเป็นตาข่ายสามมิติ ซึ่งประกอบด้วยอะตอมของคาร์บอนเป็นจำนวนมากต่อกันด้วยพันธะโควาเลนต์ ดังภาพที่ 2.1 (a)

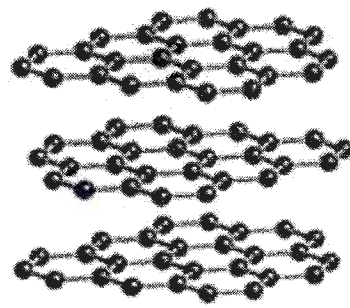
2. แบบมีโครงสร้างเป็นชั้นๆ หรือเป็นแผ่นสองมิติ โดยที่อะตอมของคาร์บอนจะจัดตัวเป็นรูปหนาแน่นเรียงต่อกันในระนาบเดียวกัน ซึ่งอะตอมของคาร์บอนแต่ละตัวจะล้อมรอบด้วยคาร์บอน 3 อะตอม ทำมุม 120 องศาซึ่งกันและกัน อะตอมของคาร์บอนจะสร้างพันธะซิกมาซึ่งกันและกัน จากการซ้อนเหลื่อมของ SP^2 ไฮบริดอร์บิตอล แต่ละอะตอมของคาร์บอนซึ่งบังคับมี P-ออร์บิตอล ที่ไม่เกิดไฮบริดเช่นนั้น และอยู่ในทิศทางที่จะทำให้เกิดการซ้อนเหลื่อมของ $P\pi - P\pi$ ได้ ตัวอย่างเช่น แกรไฟฟ์ ดังภาพที่ 2.1 (b)

3. แบบมีโครงสร้างเป็นก้อนขนาดเล็ก จนอาจถือว่ามันเป็นจุดที่ไม่มีมิติ หรือศูนย์มิติ เรียกว่า พูลเลอเรนส์ (fullerenes) ซึ่งส่วนใหญ่ที่พบเป็นพวงคาร์บอนหกสิบ (C_{60}) โดยแต่ละโมเลกุล จะประกอบด้วยอะตอมของคาร์บอนจำนวนห้าสิบ อะตอมมาจับตัวกันด้วยพันธะโควาเลนท์ เลี้ยวได้รูปทรงเป็นแบบก้อนทรงกลมกลวงคล้ายๆ ลูกตะกร้อหรือลูกบอลขนาดจิ๋ว ดังภาพที่ 2.1 (c)

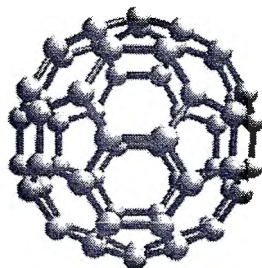
4. แบบโครงสร้างที่มีลักษณะเป็นแผ่นม้วนแผ่นม้วนตัวเป็นท่อ ขนาดเส้นผ่านศูนย์กลางน้อยมาก ทำให้มันดูเหมือนเป็นเส้นยาวๆ ในแนวหนึ่งมิติ เรียกว่า ท่อนาโนคาร์บอน ดังภาพที่ 2.1 (d)



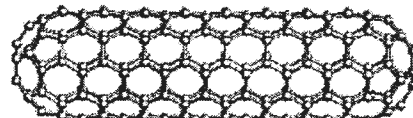
(a)



(b)



(c)



(d)

ภาพที่ 2.1 โครงสร้างของคาร์บอน (a) เพชร (b) แกร์ไฟฟ์ (c) พูลเลอเรน (d) ท่อนาโนคาร์บอน

2.2 สมบัติของท่อนาโนคาร์บอน

นับตั้งแต่ S. Iijima³ ได้ค้นพบท่อนาโนคาร์บอนผ่านทางชั้นโดยบังเอิญในปี 1991 ในขณะที่เขาใช้กล้องจุลทรรศน์อิเล็กตรอนที่มีกำลังขยายสูง ตรวจสอบเม็ดดำที่เกิดจากการเตรียมฟลูเลอริน (fullerenes) ที่ได้จากการ arc discharge ด้วยขั้วcarbonyl แล้วพบว่าวัสดุที่มีลักษณะเป็นท่อยาวบาง จับกันเป็นกลุ่มอย่างเป็นระเบียบ ขนาดของท่อสม่ำเสมอ เรียกว่าท่อนาโนคาร์บอน ซึ่งเป็นโมเลกุลที่มีรูปร่างคล้ายหอกกลางของโครงสร้างร่างแท้ๆ ขนาดเด็ก เส้นผ่าศูนย์กลางของห่อประมาณ 1-15 นาโนเมตร และมีความยาวถึงประมาณ 10 ไมโครเมตรซึ่งมีอัตราส่วนความยาวต่อเส้นผ่าศูนย์กลางพันเท่าและหอนี้ถูกเรียกว่าท่อนาโนคาร์บอนในเวลาต่อมา มีรายงานค่าความยืดหยุ่น (Young's modulus of elasticity) ของท่อนาโนคาร์บอนมีค่าสูงถึง 1.2 เทอรานาโนสตัก (TPa) มีค่าความแข็งแกร่งวัดค่าได้ 30 จิกะนาโนสตัก (GPa)¹⁹ ท่อนาโนคาร์บอนสามารถนำไฟฟ้าได้ถึง 10^9 แอมเปอร์ต่อตารางเซนติเมตร (A/cm^2) ขณะที่ทองแดงนำไฟฟ้าได้สูงสุดเพียง $10^6 A/cm^2$ ซึ่งถือว่าท่อนาโนคาร์บอนนำไฟฟ้าได้ดีกว่าทองแดง คุณสมบัติทางไฟฟ้าของท่อนาโนคาร์บอนที่ขึ้นอยู่กับการจัดเรียงตัวของอะตอมคาร์บอน ท่อนาโนคาร์บอนมีพื้นที่ผิวได้ถึง 1500 ตารางเมตรต่อกรัม (m^2/g) โดยมีความหนาแน่น 1.33-1.40 กรัมต่อกรัมนาโนเมตร (g/cm^3) เมื่อเทียบกับอัลミニเนียมที่มีความหนาแน่นสูงถึง 2.7 กรัมต่อกรัมนาโนเมตร (g/cm^3) ถือว่า ท่อนาโนคาร์บอนมีความหนาแน่นน้อยมาก คุณสมบัติเชิงไฟฟ้าอีกอย่างหนึ่งที่น่าสนใจคือ สามารถปลดปล่อยอิเล็กตรอนจากปลายของท่อนาโนคาร์บอนในสภาพสุญญากาศได้ เมื่อวางอยู่ในสนามไฟฟ้าที่ใช้ค่าศักย์ต่ำ เช่นจะกระตุ้น phosphors ที่วางไว้ห่าง 1 mm ใช้ศักย์ไฟฟ้าเพียง 1-3 V ในขณะที่ต้องใช้ศักย์ไฟฟ้าสูงถึง 50 - 100 V สำหรับปลายที่เป็นข้อ molybdenum นอกจากนี้ยังมีความสามารถนำความร้อนได้มากตามแนวยาวของห่อ ทนต่ออุณหภูมิได้ถึง 2800 องศาเซลเซียส ภายใต้สุญญากาศ และ 750 องศาเซลเซียส²⁰ ในสภาพปกติ คุณสมบัติเหล่านี้เป็นที่น่าสนใจอย่างมากในเชิงกายภาพ และมีการค้นพบสมบัติเพิ่มขึ้นอีกหลายประการ ในปัจจุบันการวิจัยเกี่ยวกับการทำนายทฤษฎีการเกิด โครงสร้างและคุณสมบัติของท่อนาโนคาร์บอนได้เกิดขึ้นเป็นอย่างมาก

2.3 โครงสร้างของท่อนาโนคาร์บอน

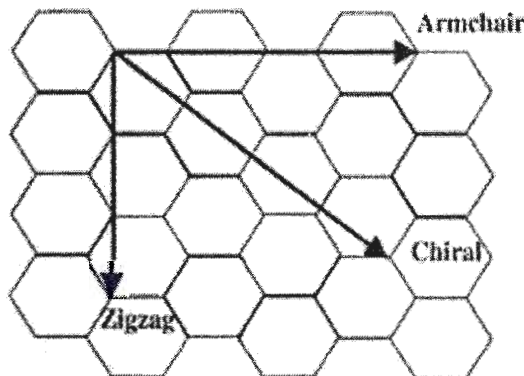
โครงสร้างของท่อนาโนคาร์บอนเป็นสิ่งที่กำหนดคุณสมบัติทั้งทางกลและทางอิเล็กทรอนิกส์ ของท่อนาโนคาร์บอน โครงสร้างของท่อนาโนคาร์บอนแบบต่างๆ สามารถถูกควบคุมได้ด้วยขนาดของเส้นผ่าศูนย์กลางของห่อและทิศทางการเรียงตัวของวงแหวนหกเหลี่ยม ที่ทำมุมเทียบกับแกนของห่อ (chiral angle) ซึ่งเกิดจากการม้วนตัวของแผ่นแกร์ไฟท์ทำให้เกิดคลื่นลายตามผนัง

ของท่อนาโนคาร์บอน การม้วนตัวของแผ่นแกร์ไฟฟ์ ดังแสดงด้วยภาพที่ 2.2 ทิศทางการม้วนตัวของแผ่นแกร์ไฟฟ์ มีรูปแบบของโครงสร้างที่เป็นไปได้ 3 แบบ²¹ คือ

1. โครงสร้างแบบ armchair เป็นโครงสร้างของท่อนาโนคาร์บอนที่เกิดจากการม้วนตัวของแผ่นแกร์ไฟฟ์ตามแนวแกนสมมาตรแกนตั้ง ท่อนาโนคาร์บอนที่ได้จะมีคุณสมบัติเป็นโลหะ แสดงด้วยภาพที่ 2.2 (b)

2. โครงสร้างแบบ zigzag เป็นโครงสร้างของท่อนาโนคาร์บอนที่เกิดจากการม้วนตัวของแผ่นแกร์ไฟฟ์ตามแนวแกนสมมาตรแกนนอนท่อนาโนคาร์บอนที่ได้จะมีคุณสมบัติเป็น สารกึ่งตัวนำ (semi conductor) ดังแสดงด้วยภาพที่ 2.2 (c)

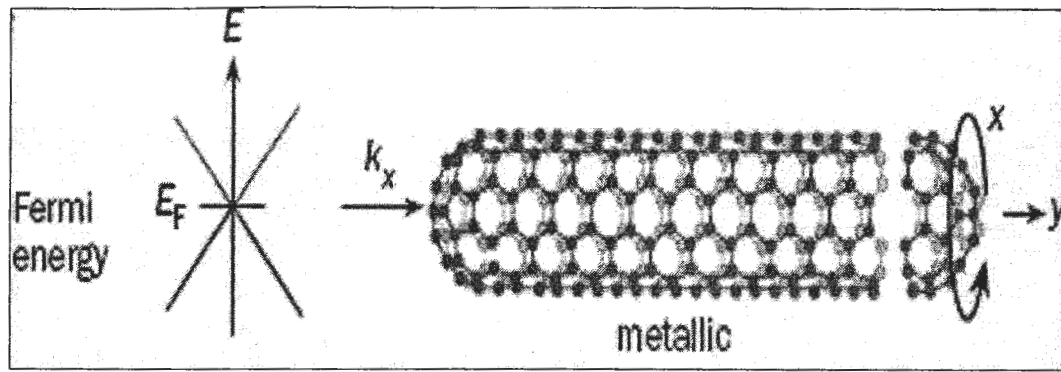
3. โครงสร้างแบบ chiral เป็นโครงสร้างของท่อนาโนคาร์บอนที่เกิดจากการม้วนตัวของแผ่นแกร์ไฟฟ์ที่ด้วยมุนบิดอื่นๆ ท่อนาโนคาร์บอนที่ได้จะมีคุณสมบัติเป็น สารกึ่งตัวนำ ดังแสดงด้วยภาพที่ 2.2 (c)



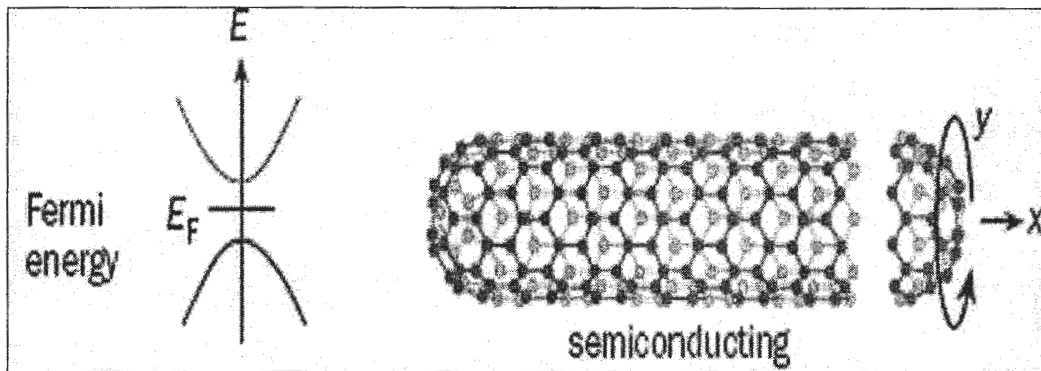
(a)

ภาพที่ 2.2 แสดงโครงสร้างของแผ่นแกร์ไฟฟ์ และการหมุนเป็นท่อนาโนคาร์บอน²¹

- (a) แสดงโครงสร้างของแผ่นแกร์ไฟฟ์ในทิศทาง 2 มิติ กับการหมุนในทิศทางทำมุนต่างๆ
- (b) แผ่นแกร์ไฟฟ์หมุนรอบแกน y ท่อนาโนคาร์บอนมีสมบัติเป็น metallic
- (c) แผ่นแกร์ไฟฟ์หมุนรอบแกน x ท่อนาโนคาร์บอนมีสมบัติเป็น semiconducting



(b)



(c)

ภาพที่ 2.2 โครงสร้างของแผ่นเกรฟไฟฟ์ และการหมุนเป็นท่อ nano ในการรับอน (ต่อ)

2.4 การจำแนกชนิดของท่อน nano ในการรับอน

ท่อน nano ในการรับอนแบ่งออกเป็น 2 ชนิด ได้แก่

1. ท่อน nano ในการรับอนผังชั้นเดียว เกิดจากการม้วนตัวของแผ่นเกรฟไฟฟ์เพียงแผ่นเดียว ด้วยมุมบิดที่แตกต่างกันเป็นรูปทรงกรวยออก โครงสร้างของห่อเป็นไปได้ ทั้งแบบ armchair แบบ zigzag และแบบ chiral²² โดยทั่วไปมีขนาดเส้นผ่าศูนย์กลางของห่อประมาณ 1-3 nm²³

2. ท่อน nano ในการรับอนผังหลายชั้น เกิดจากแผ่นเกรฟไฟฟ์หลายแผ่นม้วนเป็นท่อ ซึ่งผังห่อ มีลักษณะซ้อนกันคล้ายกับการซ้อนห่อเล็กในห่อใหญ่ โดยมีจุดศูนย์กลางภาคตัดขวางของห่อเป็น จุดเดียวกัน Park และคณะ²⁴ ได้ทำการทดลองสังเคราะห์ห่อน nano ในการรับอน ด้วยวิธี thermal chemical vapor deposition โดยมี Fe เป็นตัวเร่งปฏิกิริยา พบว่า ขนาดห่อน nano ในการรับอนมีเส้นผ่าน

สูนย์กลางอยู่ระหว่าง 30-40 nm ทั้งนี้ขนาดเส้นผ่านสูนย์กลางของห้องขึ้นอยู่กับจำนวนของแผ่นแก้วไฟฟ้าที่วางซ้อนกัน

2.5 ความเป็นไปไดในการประยุกต์ท่อนาโนคาร์บอนเพื่อใชประโยชน์

ปัจจุบันนาโนเทคโนโลยีได้เข้ามายืนหนาทสำคัญต่อทางด้านวิทยาศาสตร์และเทคโนโลยี เป็นอย่างมาก การพัฒนาด้านเทคโนโลยีจึงเป็นสิ่งที่จำเป็นและกำลังได้รับความสนใจของบรรดา เหล่านักวิทยาศาสตร์และนักวิจัยทั่วโลก จุดเริ่มต้นของการก้าวเข้าสู่การพัฒนาด้านเทคโนโลยีคือ การลดขนาดชิ้นส่วนให้มีขนาดเด็กลง โดยเฉพาะอย่างยิ่งการเตรียมวัสดุอุปกรณ์ในระดับนาโน ตลอดจนการประกอบอุปกรณ์ต่างๆ ขึ้นจากการจัดเรียงของอะตอมหรือโมเลกุลเข้าด้วยกันด้วยความ แม่นยำและความถูกต้องในระดับนาโนเพื่อประดิษฐ์อุปกรณ์ใหม่ที่มีประสิทธิภาพสูง ด้วย สมบัติขั้นโดดเด่นหลายประการของห่อนาโนคาร์บอน เช่นคุณสมบัติที่เป็นได้ทั้งตัวนำและสารกึ่ง ตัวนำ มีน้ำหนักเบา มีความแข็งแกร่งสูง มีความยืดหยุ่น ได้ดีเป็นต้น ห่อนาโนคาร์บอนจึงได้รับความ สนใจจากนักวิทยาศาสตร์และนักวิจัย ซึ่งเป็นสาเหตุให้เกิดการศึกษาวิจัยและประยุกต์ท่อนาโนคาร์บอน เพื่อใชประโยชน์ในงานต่างๆ อย่างต่อเนื่องทั้งทางด้านการแพทย์ วิทยาศาสตร์ ดังต่อไปนี้

2.5.1 อุปกรณ์ปลดปล่อยอิเล็กตรอน (Field emitting devices)

เนื่องจากห่อนาโนคาร์บอนมีสัดส่วนความยาวต่อรัศมีความโถ้ง (aspect ratio, h/r) มีค่ามากซึ่งอยู่ในระดับขนาด 1000 ซึ่งหากทำให้ห่อนาโนคาร์บอนไปใช้ทำเป็นแหล่งปลดปล่อย อิเล็กตรอนจะสามารถเพิ่มความเข้มสนามไฟฟ้าได้เป็น 1000 เท่า เป็นไปตามกฎของ Fowler และ Nordheim (1928)²⁵ ซึ่งกล่าวว่า ความหนาแน่นกระแส (j) ขึ้นอยู่กับสนามไฟฟ้าของผิวที่ปลดปล่อย อิเล็กตรอน (E) และเวิร์กฟังก์ชันของตัวปลดปล่อย (emitter work function, ϕ) ดังนี้

$$j = \frac{e^3}{4(2\pi)^2 \hbar \phi} E^2 \exp\left(-\frac{4\sqrt{2m_e}}{3\hbar e E} \cdot \phi^{1.5}\right) \quad (2.1)$$

เมื่อ j = ความหนาแน่นกระแส

E = ความเข้มของสนามไฟฟ้า

ϕ = เวิร์กฟังก์ชันของตัวปลดปล่อย

\hbar = ค่าคงที่ของแพลนค์ (plank constant)

สำหรับโลหะพิวารานโดยทั่วไป ($\phi = 5 \text{ eV}$) การที่ทำให้เกิดการปลดปล่อยอิเล็กตรอนออกจากผิว ถือเป็นการกระทำที่ยากมาก ต้องใช้สนามไฟฟ้าประมาณ $3 \times 10^9 \text{ V/m}$ แต่กระแสอิเล็กตรอน ปลดปล่อยสามารถทำให้เกิดโดยคุณสมบัติการเพิ่มค่าสนาม (field-enhancing properties) ของ โครงสร้างสนามไฟฟ้าขึ้นอยู่กับรูปร่างของผิว และสามารถทำให้เพิ่มค่าโดยทำให้โลหะตัว ปลดปล่อยอิเล็กตรอนมีปลายแหลมที่สุด รัศมีโถงที่ปลายน้อยที่สุดเท่าที่จะทำได้ ดังภาพที่ 2.3 โดยทั่วไปสนามไฟฟ้าที่ปลายของตัวปลดปล่อยอิเล็กตรอน (E) เป็นไปตามสมการที่ 2.2

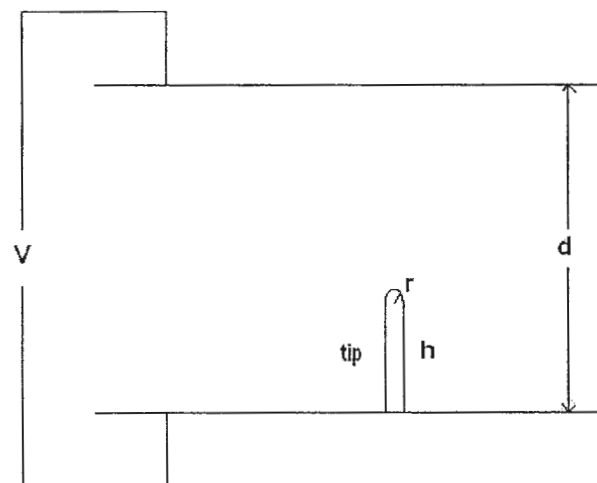
$$E_{tip} = \frac{h}{r} \cdot \frac{v}{d} = \beta \frac{v}{d} \quad (2.2)$$

เมื่อ β = field-enhancement factor = $\frac{h}{r}$

h = ความสูงของตัวปลดปล่อยอิเล็กตรอน

r = รัศมีความโถงที่ปลายของตัวปลดปล่อยอิเล็กตรอน

v = ศักย์แรงดัน (applied voltage)



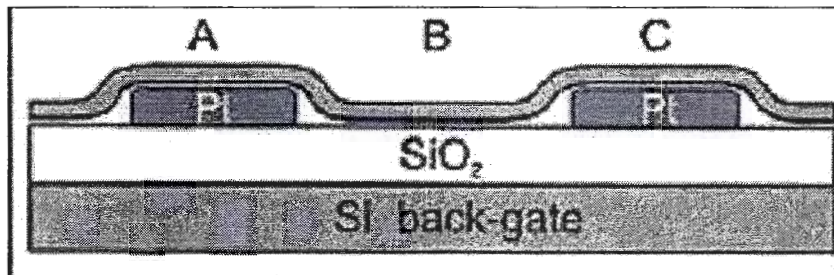
ภาพที่ 2.3 แสดง Tip วางในสนามไฟฟ้า field-enhancement factor ขึ้นอยู่กับ aspect ratio (h/r)

ซึ่งตามแบบคั่งเดินในกล้องจุลทรรศน์อิเล็กตรอน แหล่งปลดปล่อยอิเล็กตรอนทำด้วยปลายโลหะ ทั้งสองที่มีความโถงมาก ในระดับไมโครเมตร (10^{-6}) ดังนั้นการที่จะทำให้อิเล็กตรอนหลุดออกจากผิว

ของโลหะไปสู่สุญญากาศจะต้องใช้ศักย์ไฟฟ้าสูงจึงจะได้สนามไฟฟ้าสูง เนื่องจากความเข้มของสนามไฟฟ้าอยู่ใน factor h/r เมื่อ h เป็นความสูงของ Tip และ r เป็นรัศมีความโค้งของตัวปลดปล่อยอิเล็กตรอน หรือ Tip ดังนั้นถ้าแทนโลหะตัวปลดปล่อยอิเล็กตรอน ด้วยท่อนาโนคาร์บอนที่มีรัศมีความโค้งในระดับนาโน (10^{-9}) จะทำให้ได้สนามไฟฟ้าที่มีความเข้มสูงมากในขณะที่ไม่จำเป็นต้องใช้ศักย์แรงดันไฟฟ้ามากนักและนอกจานี้ ท่อนาโนคาร์บอนยังเป็นวัสดุที่มีเสถียรภาพทางเคมี ไม่ถูกกัดกร่อนได้ง่าย ทำให้อาจการใช้งานยาวนาน

2.5.2 ทรานซิสเตอร์ (Transistors)

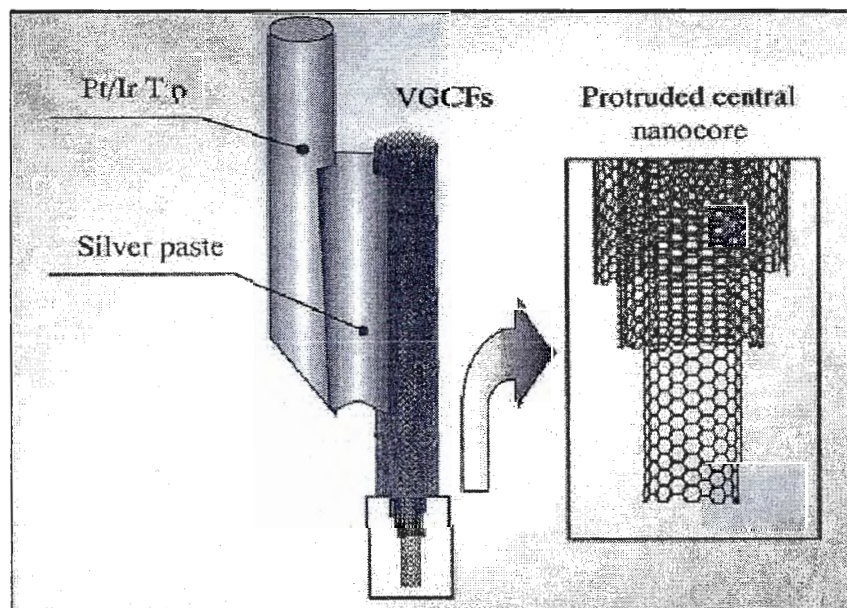
เนื่องจากท่อนาโนคาร์บอนสามารถเป็นสารกึ่งตัวนำ²⁶ ดังนั้นท่อนาโนคาร์บอนแบบผังชั้นเดียว จึงถูกนำมาใช้เป็นอิเล็กโทรดสำหรับอุปกรณ์ field effect transistor (FET) โครงสร้างของทรานซิสเตอร์ที่สร้างจากท่อนาโนคาร์บอน ดังแสดงด้วยภาพที่ 2.4 โดยนำท่อนาโนคาร์บอนมาใช้เป็นช่อง (channel) อิเล็กตรอนผ่านระหว่าง source-drain อิเล็กโทรดสำหรับ FET โดยสามารถเปิด / ปิดสวิตช์ส่งผ่านกระแสไฟฟ้าผ่านตัวควบคุมด้วย voltage gate แต่สิ่งที่ต่างจากซิลิกอน FETs ทั่วๆ ไปคือ ขนาดที่เล็กในระดับนาโนและการนำไฟฟ้าผ่านท่อนาโนคาร์บอนที่สูงถึง 1 ล้านเท่า ด้วยกำลังไฟฟ้าที่น้อยกว่าและให้ clock speed ในระดับสูงกว่าถึง 1 THz นอกจากนี้ยังรวมถึงการสร้างล้อจิกเก็ตด้วย CNTs-FETs โดยการโดยปั๊ดวัสดุเพื่อที่จะเติมสารหรือเอาอิเล็กตรอนออกทำให้ได้ *n-type* หรือ *p-type* ขึ้น²⁷



ภาพที่ 2.4 แสดงโครงสร้างของทรานซิสเตอร์ที่สร้างจากท่อนาโนคาร์บอน ซึ่งประกอบด้วย Si back-gate โดยมี SiO_2 semi-conducting ปั๊กถ่ายไว้และมีแพททินัมปั๊กถ่ายบน SiO_2 เพื่อใช้เป็นขั้วอิเล็กโทรดแล้ววางทับด้วยท่อนาโนคาร์บอนโดยให้สัมผัสกับขั้วทั้งสอง

2.5.3 หัววัดนาโนและเซนเซอร์ (Nanoprobes and sensors)

เนื่องจากท่อนาโนการ์บอนมีความยืดหยุ่นสูงจึงสามารถนำมาประยุกต์ใช้เป็นหัววัด (probe) ของเครื่องมือวิเคราะห์ (functional devices) เช่น STM และ AFM ดังแสดงด้วยภาพที่ 2.5 ข้อ ได้เปรียบเมื่อเทียบกับหัววัดที่เป็นโลหะหรือซิลิโคน คือมีอายุการใช้งานยาวนาน สามารถวัดได้ละเอียดเนื่องจากหัววัดมีขนาดเล็ก มีความยืดหยุ่นสูง ผิวของตัวอย่างจึงไม่ถูกทำลาย นอกจากนี้หัววัดที่ทำจากท่อนาโนการ์บอนยังสามารถวิเคราะห์โครงสร้างในระดับอะตอม และยังสามารถดัดแปลงโดยการนำ functional groups เช่น -COOH มาดัดติดที่ปลายชี้นำมาประยุกต์ใช้ในทางเคมี และชีววิทยา นอกจากนี้ยังมีการประยุกต์ใช้อีก เช่น นำมาประดิษฐ์เป็นคิมนาโน (nano tweezers) เพื่อเคลื่อนย้ายสิ่งของที่มีขนาดเล็ก ในทางการแพทย์ แนวคิดสำคัญที่จะใช้ประโยชน์จากท่อนาโนการ์บอน คือการที่ท่อนาโนสามารถเข้าถึงโครงสร้างในระดับเซลล์ได้ นั่นคือสามารถใช้เป็น Probe ตรวจวัด หรือใช้เป็นปีเปตขนาดเล็กมากสำหรับปลดปล่อยสารหรือโมเลกุล (ultrasmall pipette) เข้าสู่เซลล์เป้าหมายได้



ภาพที่ 2.5 แสดงปลายเข็มของ AFM ที่ทำจากท่อนาโนการ์บอนแบบพนังหลายชั้น²⁸

2.5.4 ใช้เป็นส่วนผสมในวัสดุอื่น (Composite materials)²⁸

เนื่องจากท่อนาโนคาร์บอนมีความแข็งสูง มีน้ำหนักเบา และยังสามารถนำไปฟื้นฟายความร้อนได้ดี ท่อนาโนคาร์บอนจึงถูกเลือกไปเป็นส่วนผสมกับวัสดุอื่น เพื่อเพิ่มคุณสมบัติทางกายภาพทั้งความแข็งแกร่ง การทนอุณหภูมิ และการนำไฟฟ้า เมื่อไม่นานมานี้ นักวิทยาศาสตร์ของ NASA สามารถสังเคราะห์คอมโพสิตของ SWCNTs-polyimide ที่สามารถเพิ่มคุณสมบัติทางกายภาพทั้งความแข็งแกร่ง การทนอุณหภูมิ และการนำไฟฟ้า ซึ่งทั้งหมดนี้มีความสำคัญมากสำหรับวัสดุประกอบเครื่องบินและยานอวกาศ กล่าวคือ ท่อนาโนคาร์บอนสามารถช่วยเสริมความแข็งแกร่ง (reinforce) ของวัสดุเดิมให้มากยิ่งขึ้น น้ำหนักเบา และสามารถสร้างได้หลายรูปแบบ ได้แก่ พลีมบางไฟเบอร์ โฟม สารเคลือบ และ ผง เป็นต้น

2.5.5 การเก็บกักพลังงาน (Energy storage)²⁹

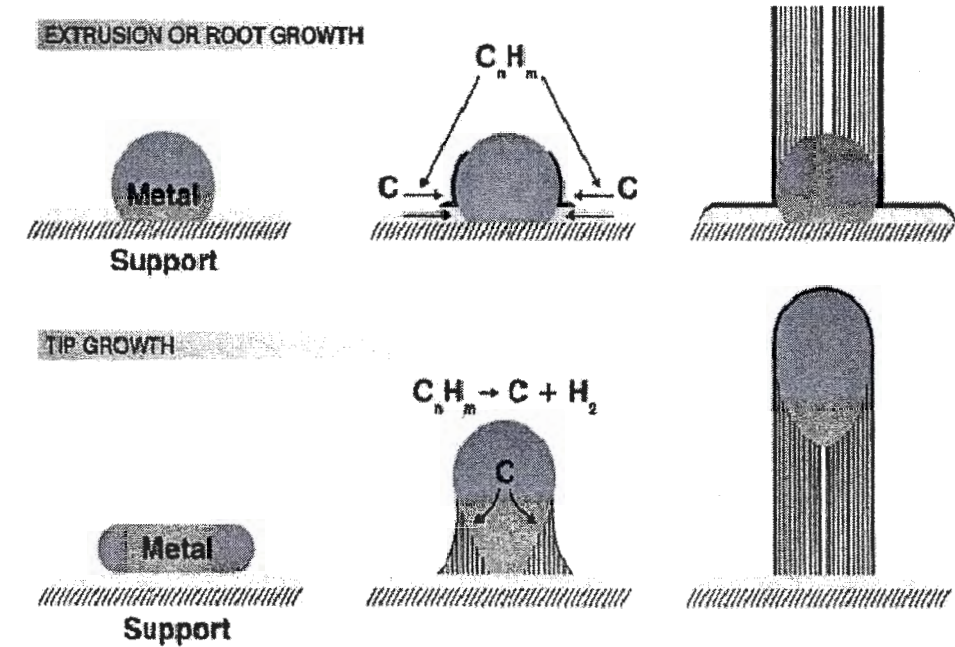
เนื่องจากลักษณะโครงสร้างของท่อนาโนคาร์บอนเป็นท่อคล้อง เส้นผ่าศูนย์กลาง มีขนาดเล็กในระดับนาโนและมีพื้นผิวเรียบ ลักษณะพิเศษนี้เป็นสิ่งที่สร้างความสนใจให้กับนักวิจัย ทั่วโลกที่จะศึกษาวิจัยเพื่อหาวิธีการนำท่อนาโนคาร์บอนมาเก็บกักไฮโตรเจนเนื่องจากไฮโตรเจนเป็นพลังงานสะอาด มีประสิทธิภาพสูง ไม่เป็นพิษต่อสิ่งแวดล้อมและมีอยู่ทั่วไปในบรรดาการนอกจานี้ท่อนาโนคาร์บอนยังสามารถนำไปใช้ในเซลล์เชื้อเพลิง fuel cell ชนิด มีเทน เอทานอล หรือใช้เป็นขี้ไว้ในแบตเตอรี่ โดยการแทนที่แพลตินัมด้วยท่อนาโนคาร์บอน พบว่าในสภาวะเดียวกัน เซลล์เชื้อเพลิงที่ใช้ท่อนาโนคาร์บอน เป็นส่วนผสมของขี้วอเล็กโตรดจะให้กระแสสูงกว่าแบบเดิม (platinum-impregnated carbon black)

2.6 กลไกการเกิด (Growth mechanism)

กลไกการเกิดของท่อนาโนคาร์บอน เป็นสิ่งที่ยังไม่ถูกรู้อย่างแน่ชัดว่าท่อนาโนคาร์บอนเกิดขึ้นได้อย่างไร และยังเป็นหัวข้อการ讨debyingของบรรดานักวิจัยทั่วโลก ทฤษฎีการเกิดท่อนาโนคาร์บอนมีหลายทฤษฎี Yasuda และคณะ²³ กล่าวว่า กลไกการเกิดท่อนาโนคาร์บอนมีสองขั้นตอน การขบวนการแรกของกลไกการคือการก่อตัวของท่อนาโนบันผิวของอนุภาคโลหะตัวเร่งปฏิกิริยา ลำดับที่สองคือการก่อผนังจากแผ่นแกร์ไฟฟ์ เป็นท่อนาโนคาร์บอน ดังภาพที่ 2.6 แสดงสมมติฐานความเป็นไปได้ของกลไกการก่อตัวของท่อนาโนคาร์บอน

โดยทั่วไปท่อนาโนคาร์บอนก่อตัวอยู่บนฐานรองที่มีตัวเร่งปฏิกิริยา ที่เป็นทรงกลมหรือรูปเหมือนผลแพร์ (pear-shaped) จากนั้นอะตอมที่ร้อนของคาร์บอนจะแพร่กระจายและถูกดึงดูดมาติดที่บริเวณผิวค้านข้างของตัวเร่งปฏิกิริยา โดยไม่ถูกปิดที่ผิวค้านบนของตัวเร่งปฏิกิริยา โดยมีอะตอม

ของการรืบอนตัวต่อไปมาสร้างพันธะกับอะตอนคาร์บอนและดันขึ้นเป็นท่อนาโนคาร์บอนกลไกการเกิดท่อนาโนคาร์บอนขึ้นอยู่กับหลายปัจจัยเช่น แผ่นฐานรองการเกิด ชนิดและขนาดของโลหะที่เป็นตัวเร่งปฏิกิริยาสภาพความดันบรรยายกาศของแก๊สเพื่อยในการเตรียมตัวเร่งปฏิกิริยา แหล่งกำเนิดของคาร์บอน และอุณหภูมิการเกิดเป็นต้น นอกจากนี้ยังพบว่ากลไกการเกิดขึ้นอยู่กับเทคนิคเคมีการสังเคราะห์ จากการศึกษารายงานการวิจัยพบว่าเทคนิคการสังเคราะห์ท่อนาโนคาร์บอนมีหลายวิธีแต่ละวิธีมีกลไกการเกิดแตกต่างกัน และให้คุณสมบัติของท่อนาโนคาร์บอนต่างกันดังจะได้กล่าวในหัวข้อต่อไป



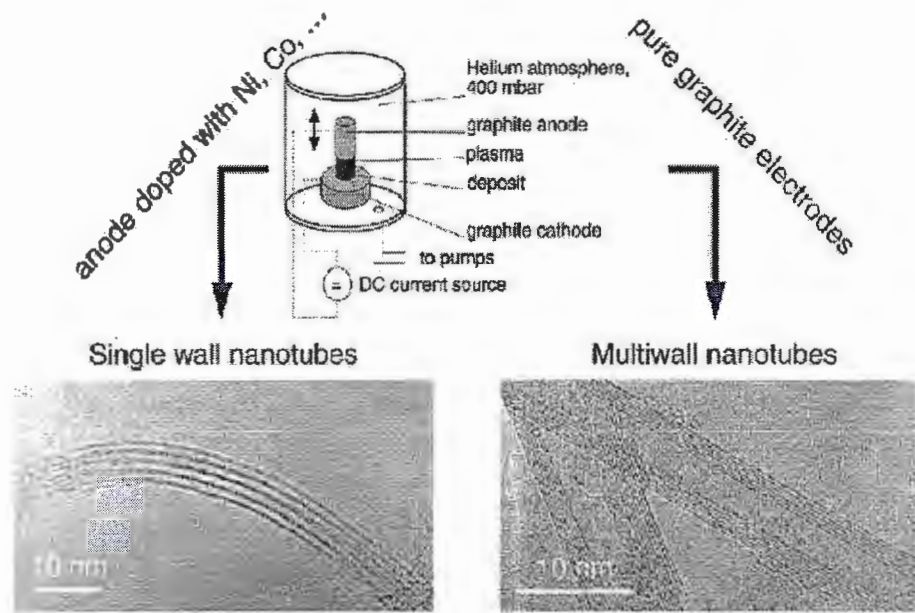
ภาพที่ 2.6 รูปแบบการก่อตัวของท่อนาโนคาร์บอน²³

2.7 การสังเคราะห์ท่อนาโนคาร์บอน

โดยทั่วไปท่อนาโนคาร์บอนถูกสังเคราะห์จาก 3 วิธีหลัก คือ วิธีอาร์คคิสชาร์จ วิธีเทคนิคการยิงด้วยเลเซอร์ และวิธีไอระเหยทางเคมี การสังเคราะห์แต่ละวิธีให้ผลผลิตมากน้อยแตกต่างกันไป บางวิธีมีค่าใช้จ่ายในการสังเคราะห์สูง ซึ่งวิธีการสังเคราะห์แต่ละวิธีมีขั้นตอน และเทคนิคเคมีแตกต่างกัน ดังจะกล่าวในหัวข้อต่อไป

2.7.1 วิธีอาร์คดิสชาร์จ (Arc discharge)

เทคนิคนี้เป็นวิธีเริ่มแรกที่ใช้สังเคราะห์ท่อนาโนคาร์บอน ซึ่งแต่เดิมนั้นใช้ในการสังเคราะห์ C_{60} พูลเลอร์ริน โดยใช้การป้อนไฟฟ้ากระแสตรงขนาด 50 ถึง 100 แอมเปอร์ และตักไฟฟ้าประมาณ 20 โวลต์ ที่ระหว่างขั้วcarbonylที่วางห่างกันประมาณ 1-3 มิลลิเมตรภายใต้บรรยากาศของก๊าซเนื้อยิ่ง³⁰ เช่น ก๊าซไฮเดรียม หรืออาร์กอน ที่สภาวะความดันบรรยากาศต่ำ และควบคุมอุณหภูมิให้อยู่ที่ประมาณ 2000-3000 องศาเซลเซียส ทำให้carbonylเกิดการแตกตัวกลายเป็นพลาสมาร์อน จากนั้ncarbonylที่แตกตัวจะเกิดการความแน่นและก่อตัวใหม่เป็นท่อนาโนที่ขั้วแคโทดวิธีการสังเคราะห์ท่อนาโนcarbonylนี้เป็นวิธีที่ง่ายและค่าใช้จ่ายถูก แต่ท่อนาโนcarbonylที่ได้จะมีขนาดไม่สม่ำเสมอและมีสิ่งเจือปนค่อนข้างมากเช่น อสัมฐานของการบอน และขี้ถ้า ไดอะแกรมแสดงการสังเคราะห์ท่อนาโนcarbonylแบบอาร์คดิสชาร์จ ดังภาพที่ 2.7



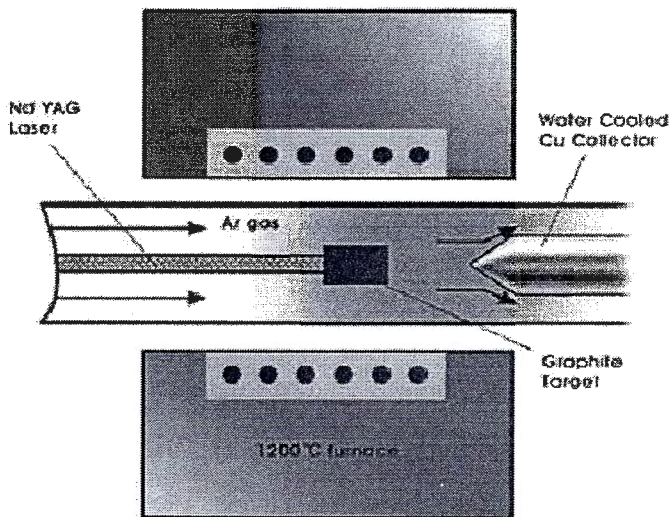
ภาพที่ 2.7 ไดอะแกรมแสดงการสังเคราะห์แบบอาร์คดิสชาร์จ³¹

การสังเคราะห์ท่อนาโนคาร์บอนด้วยวิธีนี้ ผลผลิตที่สังเคราะห์ได้มีทั้งท่อนาโนคาร์บอน ชนิดผนังหลายชั้นและผนังชั้นเดียว ทั้งนี้ขึ้นอยู่กับเทคนิคการสังเคราะห์ การสังเคราะห์ท่อนาโนคาร์บอนเพื่อให้ได้แบบผนังชั้นเดียวนั้นตัวเร่งปฏิกิริยาเป็นสิ่งจำเป็นต่อการเกิด โดยโดยโลหะตัวเร่งปฏิกิริยาที่ข้าวอาโนด โลหะตัวเร่งปฏิกิริยาที่ใช้ เช่น เหล็ก โคนอล นิกเกิล อิथเทรีียม หรือ ไมลิบินัม³² คุณภาพและความหนาแน่นของท่อนาโนคาร์บอนขึ้นอยู่กับตัวแปรหลายอย่าง เช่น ความเข้มข้นของโลหะตัวเร่งปฏิกิริยา ความดันของแก๊สเลือย ชนิดของแก๊ส และปริมาณกระแสไฟฟ้าที่ไหล โดยปกติเส้นผ่านศูนย์กลางของห่อที่สังเคราะห์ได้อยู่ระหว่าง 1.2-1.4 นาโนเมตร ถ้าข้าวอิเล็กโทรดทั้งคู่ เป็นเกรร์ไฟฟ์ที่ปราศจากโลหะตัวเร่งปฏิกิริยา ผลผลิตหลักที่สังเคราะห์ได้จะเป็นท่อนาโนคาร์บอนแบบผนังหลายชั้น วิธีการสังเคราะห์แบบอาร์คดิสชาร์จเป็นวิธีที่ง่ายและมีค่าใช้จ่ายไม่สูงนัก แต่ท่อนาโนคาร์บอนที่ได้จะมีขนาดไม่สม่ำเสมอและมีลักษณะเป็นข้างมาก เช่น อัลตราโซนของคาร์บอน ชีสต้า และเพนเกรร์ไฟฟ์ ซึ่งผลผลิตที่สังเคราะห์ได้จะไม่บริสุทธิ์ อย่างไรก็ตามนักวิทยาศาสตร์ พยายามพัฒนาวิธีการสังเคราะห์เพื่อให้ได้ผลผลิตที่มีความบริสุทธิ์ โดยทั่วไปท่อนาโนคาร์บอนแบบผนังหลายชั้นที่สังเคราะห์ได้ด้วยวิธีนี้ มีขนาดของเส้นผ่านศูนย์กลางภายในประมาณ 1.3 nm เส้นผ่านศูนย์กลางภายนอกประมาณ 10 nm

2.7.2 เทคนิคการยิงด้วยเลเซอร์ (Laser ablation)

เทคโนโลยีคิดค้นขึ้น โดยนักวิทยาศาสตร์ในกลุ่มของ สมอลลี (Smalley)³³ โดยใช้เลเซอร์แบบ พลัซ^{34,35} แบบต่อเนื่อง^{36,37} ที่มีพลังงานสูงยิงกระแทบแห้งๆ บนผิวโลหะในเตาเผาที่มีอุณหภูมิประมาณ 1200 องศาเซลเซียส ภายในเตาเติมแก๊สไฮดρอเจน หรือไฮโดรเจนและรักษาสภาพความดันให้อยู่ที่ 500 torr ทำให้เกิดแก๊สคาร์บอนและอะตอมคาร์บอนที่ร้อนขึ้น ไอร้อนจะถูกปั้นออกโนเลกูลของคาร์บอนจะรวมแนวแกะกันเป็นกลุ่มเล็กๆ อย่างรวดเร็วและทำให้เย็นลงที่ตัวกักเก็บที่远离จากห้องแดงด้านนอกเตาเผา โลหะตัวเร่งปฏิกิริยาจะเป็นตัวดึงดูดอะตอมของคาร์บอนให้มาร่วมกันและป้องกันไม่ให้ท่อปิดครอบ ชนิดของห่อนาโนคาร์บอนที่ได้จากการสังเคราะห์นั้นจะเป็นแบบแบบผนังหลายชั้น หรือผนังชั้นเดียวขึ้นอยู่ที่โลหะตัวเร่งปฏิกิริยา กล่าวคือถ้าข้าวอิเล็กโทรดที่เป็นเกรร์ไฟฟ์บริสุทธิ์ผลผลิตที่ได้จากการสังเคราะห์เป็นห่อนาโนคาร์บอนแบบผนังหลายชั้น แต่ถ้าข้าวอิเล็กโทรดเป็นเกรร์ไฟฟ์ผสมโลหะ Co, Ni, Fe หรือ Y ผลผลิตที่ได้แบบผนังชั้นเดียว อัตราส่วนผสมของโลหะตัวเร่งปฏิกิริยา Ni/Y ในอัตราส่วน 4.2 / 1 จะให้ผลผลิตดี Yudasaka และคณา³⁴ ทำการทดลองใช้โลหะตัวเร่งปฏิกิริยา Ni/Co ร่วมกับ pulsed laser ที่อุณหภูมิ 1470 องศาเซลเซียส ผลผลิตที่เป็นแบบผนังชั้นเดียว มีขนาดเส้นผ่านศูนย์กลาง 1.3-1.4 nm ในการทดลองใช้เลเซอร์แบบต่อเนื่อง ที่ อุณหภูมิ 1200 องศาเซลเซียส โดยมี Ni / Y เป็นโลหะตัวเร่งปฏิกิริยา ในอัตราส่วน

Ni / Y เป็น 2 : 0.5% ผลผลิตที่ได้จะเป็นแบบผังชั้นเดียว มีขนาดเส้นผ่านศูนย์กลางประมาณ 1.4 nm^{37} ผลผลิตที่ได้คิดเป็นประมาณ 20-30 % การสังเคราะห์ วิธีนี้ให้ท่อนาโนคาร์บอนที่มีคุณภาพดีมีความบริสุทธิ์สูงกว่าวิธีอาร์คิติชาร์จ แต่มีค่าใช้จ่ายในการสังเคราะห์ค่อนข้างสูง ไดอะแกรมแสดงการสังเคราะห์แบบการยิงด้วยเลเซอร์ ดังภาพที่ 2.8



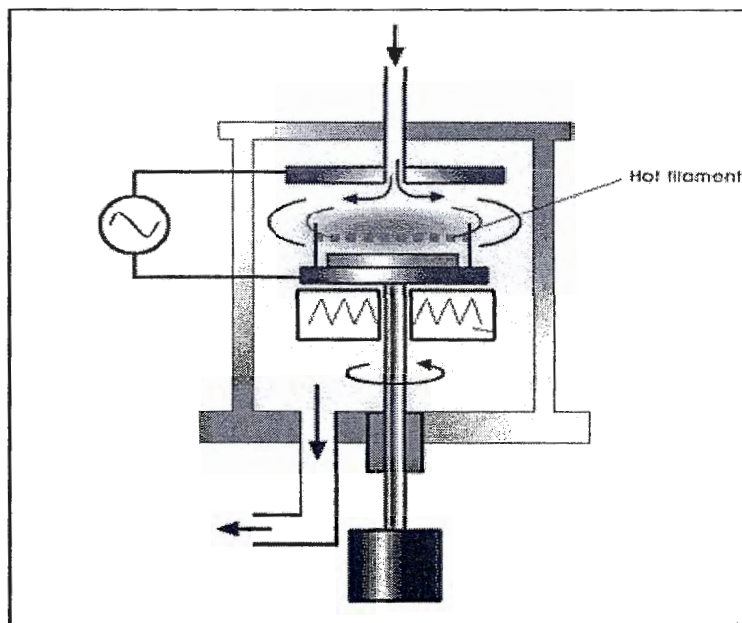
ภาพที่ 2.8 ไดอะแกรมแสดงการสังเคราะห์แบบการยิงด้วยเลเซอร์³⁷

2.7.3 วิธีไอระเหยทางเคมี (Chemical Vapor Deposition, CVD)

วิธีไอระเหยทางเคมีเป็นการสังเคราะห์ท่อนาโนคาร์บอนโดยการแยกออกของคาร์บอนออกจากสารประกอบไฮโดรคาร์บอน เช่นแก๊ส มีเทน อะเซทิลีนแก๊ส การรับอนุมอนออกไซด์แก๊สไฮโดรคาร์บอน โดยใช้ความร้อนหรือพลาสม่า จากนั้นจะต้องการรับอนะ夷ไปตอกกระทบบที่แผ่นฐานรอง (substrate) ที่มีตัวเร่งปฏิกิริยาปกคลุม โดยปกติโลหะที่เหมาะสมสำหรับเป็นตัวเร่งปฏิกิริยา เช่น Ni, Fe หรือ Co³⁸ และเป็นวิธีที่สามารถควบคุมความยาวและตำแหน่งของการเกิดได้ ถ้าโลหะตัวเร่งปฏิกิริยาเหมาะสมสมมักจะเกิดท่อนาโนคาร์บอนชนิดผังชั้นเดียวมากกว่าแบบผังหลาชั้น³⁹ วิธีไอระเหยทางเคมี มีขั้นตอนการสังเคราะห์ที่สำคัญ 2 ขั้นตอน คือขั้นตอนแรกเป็นการเตรียมตัวเร่งปฏิกิริยา และขั้นตอนที่สองเป็นการสังเคราะห์ท่อนาโนคาร์บอน ตัวเร่งปฏิกิริยาโดยทั่วไปลูกส่องผ่านไปตอกเคลือบที่ผิวของแผ่นฐานรองเกิดเป็นฟิล์มบางด้วยวิธีต่างๆ เช่น วิธีการระเหยสาร วิธีการสปัตเตอริ่ง และใช้สารเคมี หรือความร้อน ทำให้ฟิล์มบางหลอมตัวรวมเป็นกลุ่ม

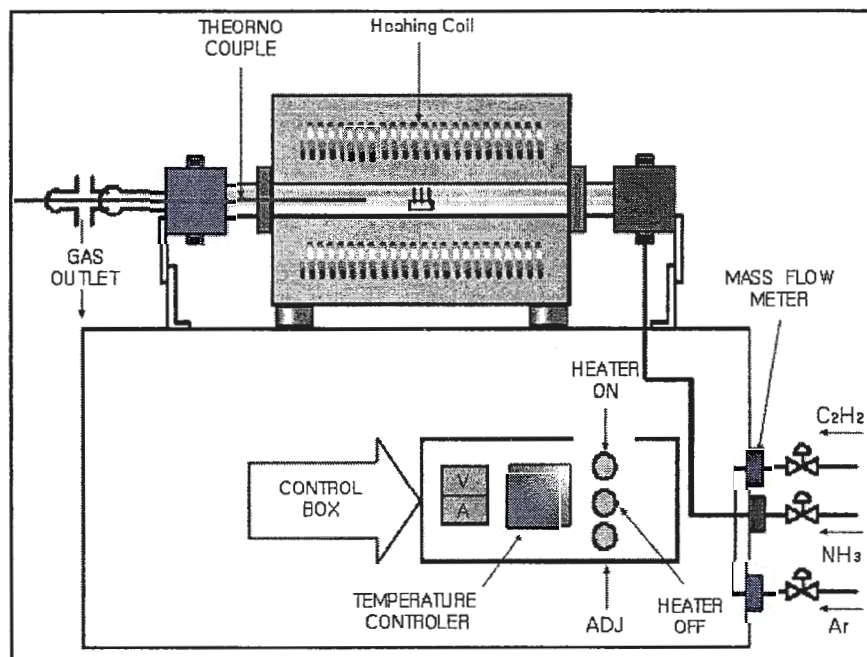
ก้อน (island) หรือเป็นกรงจุก (cluster) บนฐานรอง จากนั้นนำฟิล์มบางที่มีอนุภาคในระดับนาโนไปสังเคราะห์ท่อนาโนการบอน ที่อุณหภูมิระหว่าง 650-900 องศาเซลเซียส^{40,41,42} ให้ประสิทธิภาพการสังเคราะห์ประมาณ 30% เทคนิคการสังเคราะห์ท่อนาโนการบอนด้วยวิธี CVD ได้ถูกพัฒนาขึ้นเป็นวิธีแยกย่อยหลายวิธี เช่น plasma enhanced CVD, thermal CVD, alcohol catalytic CVD หลักการสังเคราะห์แต่ละวิธีมีดังนี้

Plasma enhanced CVD เป็นวิธีการสังเคราะห์โดยการทำให้เกิดการ โกล์วดิษชาร์จ (glow discharge) ในพกานะสุญญากาศ หรือในเตาปฏิกิริยาโดยการให้คลื่นความถี่สูงกับข้ออิเล็กโทรดทั้งสองดังแสดงด้วยภาพที่ 2.9 แผ่นฐานรองจะทำหน้าที่เป็นกราวด์ มีอิทธิพลต่อขนาดของท่อ อัตราการเกิดความหนาของท่อ และโครงสร้างของท่อ โดยทั่วไปโลหะตัวเร่งปฏิกิริยาที่ใช้ เช่น เหล็ก nickel และ kobalt นิกเกิลที่บริสุทธิ์เป็นตัวเร่งปฏิกิริยาเหมาะสมสมต่อการเกิดท่อนาโนการบอนที่จัดเรียงเป็นแกร์⁴³ ตัวเร่งปฏิกิริยาถูกนำไปติดเคลื่อนบนแผ่นฐานรองด้วยวิธี thermal CVD หรือวิธีสปีตเตอร์ริง หลังจากโลหะตัวเร่งปฏิกิริยาถูกนำไปติดเคลื่อนบนแผ่นฐานรองด้วยวิธี thermal CVD หรือวิธีสปีตเตอร์ริง แล้วที่ใช้เป็นแหล่งกำเนิดการบอนของปฏิกิริยา เช่น C_2H_2 , CH_4 , C_2H_4 , CO จะจ่ายเข้าไปในพกานะในขณะเกิดการดิษชาร์จ ท่อนาโนการบอนที่ได้จากการสังเคราะห์ด้วยวิธีนี้มีขนาดเส้นผ่าศูนย์กลางประมาณ 15 nm ผลผลิตที่ได้คิดเป็นประมาณ 50 % การสังเคราะห์ วิธีนี้ท่อนาโนการบอนสามารถถักตัวได้ที่อุณหภูมิต่ำกว่า 330 องศาเซลเซียส



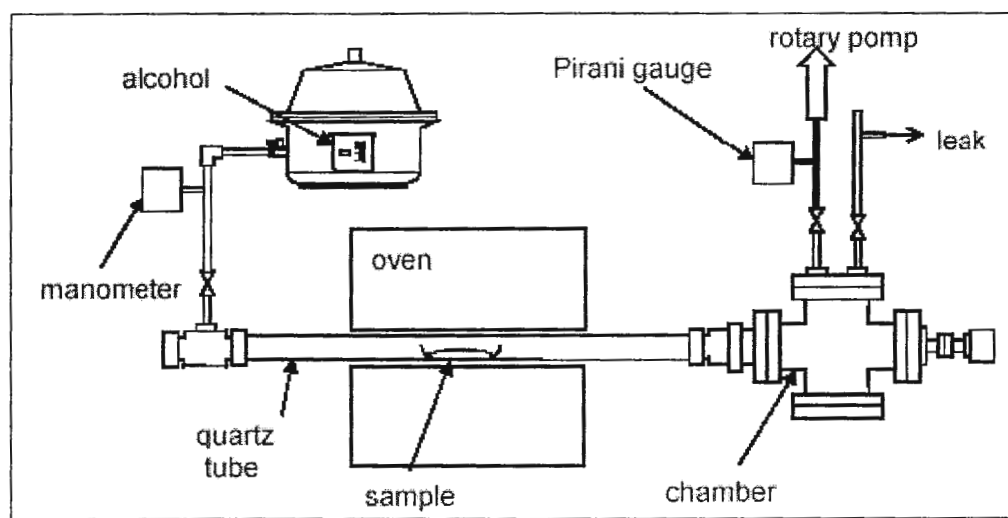
ภาพที่ 2.9 ไอดีอะแกรมแสดงการสังเคราะห์แบบ plasma enhanced CVD

Thermal chemical vapor deposition (CVD) การสังเคราะห์ท่อนาโนการ์บอนด้วยวิธีนี้ใช้ โลหะ เช่น เหล็ก nickel โคบอล หรือ โลหะผสมของสารตัวนี้เป็นตัวเร่งปฏิกิริยา โดยการทำให้ โลหะตัวเร่งปฏิกิริยาตกลงเเละก่อให้เกิดปฏิกิริยาเคมีที่พิเศษของโลหะ เช่น โลหะตัวเร่งปฏิกิริยาของบัน quartz boat ในท่อแก้ว ที่อยู่ในเตาไฟฟ้า อนุภาคนาโนของตัวเร่งปฏิกิริยาจะเกิดขึ้นในกระบวนการนี้ และเติมแก๊สที่เป็นแหล่งของการรับอนเข้าไปในท่อแก้วในขณะที่อุณหภูมิประมาณ 750-1050 องศา เชลเซียต ท่อนาโนการ์บอนจะก่อตัวขึ้นที่อนุภาคนาโนของตัวเร่งปฏิกิริยา ไดอะแกรมแสดงการ สังเคราะห์วิธี Thermal chemical vapor deposition ดังแสดงด้วยภาพที่ 2.10



ภาพที่ 2.10 ไดอะแกรมแสดงวิธี thermal chemical vapor deposition²⁴

Alcohol catalytic chemical vapor deposition (ACCVD) การสังเคราะห์ด้วยวิธีนี้เป็นวิธีที่ ดึงดูดความสนใจที่ จะนำไปสู่การศึกษาเพื่อพัฒนาในด้านความเป็นไปได้ที่จะสังเคราะห์ท่อนาโน คาร์บอนพนังขั้นเดียวที่มีคุณภาพสูงและมีค่าใช้จ่ายต่ำ และเป็นวิธีที่ง่าย การสังเคราะห์ด้วยวิธีนี้อาศัย หลักการระเบยของสารประกอบพากแอลกอฮอล์ เป็นแหล่งกำเนิดของการรับอนโดยมีเหล็กและโคบอล เป็นตัวเร่งปฏิกิริยา ท่อนาโนการ์บอนสามารถก่อตัวได้ที่อุณหภูมิประมาณ 550 องศา เชลเซียต ไดอะแกรมแสดงการสังเคราะห์วิธีนี้ดังแสดงด้วยภาพที่ 2.11 ขนาดเส้นผ่านศูนย์กลางของท่อที่ สังเคราะห์ได้ประมาณ 1 nm



ภาพที่ 2.11 ไคอะแกรมแสดง Alcohol catalytic chemical vapor deposition⁴⁵ (Maluyama)

ตารางที่ 2.1 ข้อสรุป 3 วิธีที่ใช้ในการสังเคราะห์ท่อนาโนคาร์บอน

Method	วิธี อาร์คิดิชาเร็จ	วิธีการยิงด้วยเลเซอร์	วิธีไอระเหยทางเคมี
ผู้ศึกษา	Ebbesen and Ajayan, NEC, Japan 1992 ⁴⁶	Smalley, Rice, 1995 ⁴⁷	Endo, Shinshu University, Nagano, Japan ⁴⁸
วิธีทำ	เชื่อมต่อระหว่างแท่ง แกร์ไฟฟ์ทั้ง 2 เข้ากับ แหล่งจ่าย ปลายขั้วทั้งสองห่างกันเล็กน้อย ป้อนกระแสประมาณ 100 A จะเกิดไอของคาร์บอนและเป็น พลาสมาร้อน	ยิงเลเซอร์ไปกระทบที่ คาร์บอน คาร์บอนเกิดการแตกตัว จนน้ำทำให้ คาร์บอนเกิดการควบแน่น	วางแผ่นฐานรองในเตา ให้ความร้อนสูง 600-1000 องศาเซลเซียส ให้แก๊สที่เหลือหลังกำเนิด คาร์บอน
ให้ผลผลิต	30-90%	70% ขึ้นไป	20-100%
SWNTs	ท่อสั้น เส้นผ่านศูนย์กลาง ประมาณ 0.6-1.4 nm	ท่อจะเป็นกลุ่มยาว เส้นผ่านศูนย์กลางอยู่ ระหว่าง 1-2 nm	ท่อยาวเส้นผ่านศูนย์กลาง ประมาณ 0.6-4 nm
MWNTs	ท่อสั้น เส้นผ่านศูนย์กลาง ด้านใน 1-3 nm และ เส้นผ่านศูนย์กลางด้าน นอกประมาณ 10 nm	เป็นวิธีที่ไม่น่าสนใจ เนื่องจากมีราคาแพงแต่ สามารถสังเคราะห์ได้	ท่อยาว เส้นผ่านศูนย์กลาง ประมาณ 10-20 nm

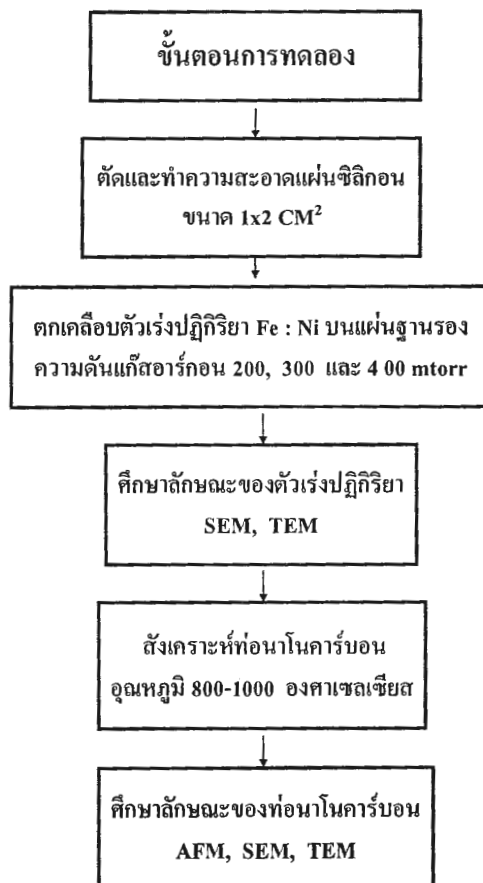
ตารางที่ 2.1 ข้อสรุป 3 วิธีที่ใช้ในการสังเคราะห์ท่อนาโนคาร์บอน (ต่อ)

Method	วิธี อาร์คิดิ沙ร์จ	วิธีการยิงด้วยเลเซอร์	วิธีไอระเหยทางเคมี
pro	สามารถสังเคราะห์ได้ ทั้ง SWNTs และ MWNTs แต่ SWNTs มีสิ่งเจือปน MWNTs สังเคราะห์ได้โดยไม่ ใช้ตัวเร่งปฏิกิริยา ราคา ไม่แพง สังเคราะห์ใน บรรยากาศได้	ผลผลิตเป็น SWNTs สามารถควบคุมขนาดได้มี สิ่งเจือปนเล็กน้อย	เป็นวิธีที่ง่ายน่าไปสู่การ ผลิตเพื่ออุตสาหกรรม ผลผลิตเป็นเส้นตรงยาว สามารถควบคุมการเกิด ได้ และมีความบริสุทธิ์
Con	ท่อที่ได้มีขนาดสั้น หจิกงอ มีสิ่งเจือปนสูง จำเป็นต้องทำให้ บริสุทธิ์ก่อนนำไปใช้ งาน	เป็นวิธีที่มีราคาสูง เพราะ ต้องใช้เลเซอร์และใช้ พลังงานสูง	ท่อที่ได้ส่วนมากเป็น MWCNTs และมักจะพบ ปัญหาสิ่งเจือปน

บทที่ 3

วิธีการวิจัย

ในบทนี้เราจะอธิบายขั้นตอนการทดลองทั้งหมดซึ่งประกอบด้วยการเตรียมตัวเร่งปฏิกิริยา เหล็กและnickelที่มีอนุภาคระดับนาโน บนแผ่นฐานรองชิลิกอน ศึกษาขนาดของอนุภาคตัวเร่งปฏิกิริยา โดยใช้ AFM กล้องจุลทรรศน์อิเล็กตรอนแบบส่อง粒粒 ตามด้วยการสังเคราะห์ท่อนาโน คาร์บอนโดยวิธีไอระเหยเคมี จากนั้นศึกษาคุณลักษณะของท่อนาโนในคาร์บอนโดยการใช้กล้องจุลทรรศน์อิเล็กตรอนแบบส่อง粒粒 ในหัวข้อสุดท้ายเราจะศึกษาคุณลักษณะว่าท่อนาโนในคาร์บอนเป็นแบบพนังขั้นเดียวหรือพนังหลายชั้นด้วยกล้องจุลทรรศน์อิเล็กตรอนแบบส่องผ่าน ขั้นตอนการทดลองมีดังนี้



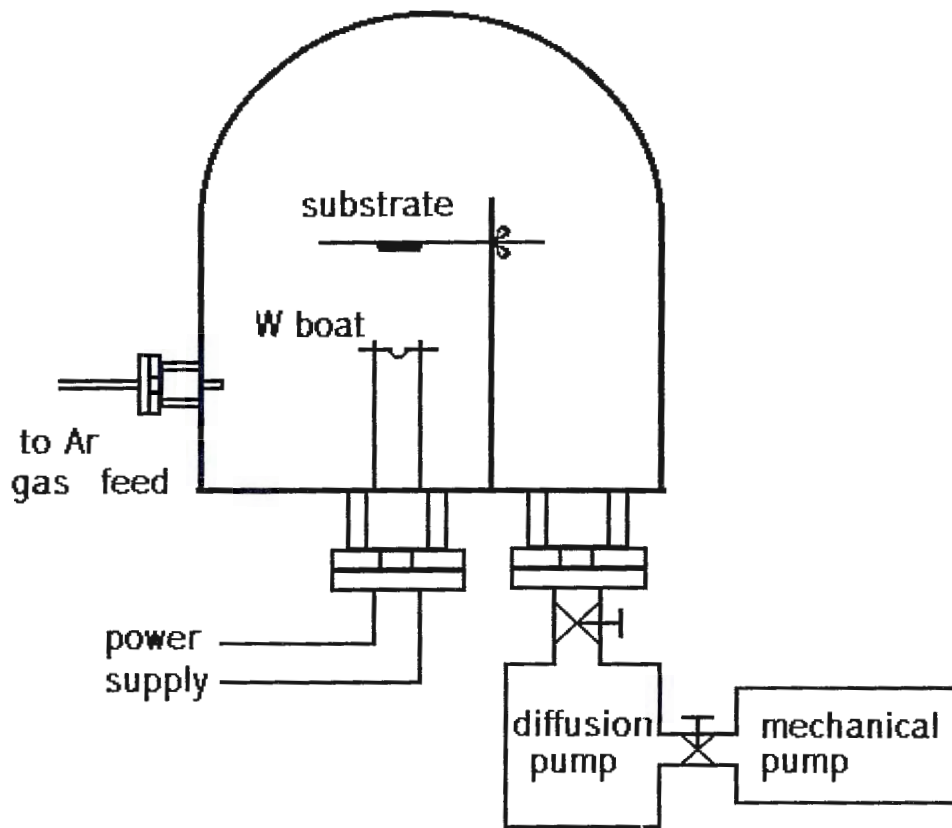
ภาพที่ 3.1 ไดอะแกรมแสดงขั้นตอนการวิจัย

3.1 การเตรียมตัวเร่งปฏิกิริยาโดยไอระเหยความร้อน

ซิลิกอนที่ใช้ในการทดลองนี้คือซิลิกอนที่ใช้ทางการค้า (commercial grade) สำหรับอุตสาหกรรมอิเล็กทรอนิกส์โดยทั่วไป ผลการทดสอบพบว่าเป็นแผ่นซิลิกอน Si(001) ชนิดพี (p-type) ซึ่งเป็นสารกึ่งตัวนำ อันดับแรกแผ่นซิลิกอนถูกตัดเป็นแผ่นขนาด $1 \times 2 \text{ cm}^2$ จากนั้นแผ่นซิลิกอนถูกทำความสะอาดด้วยน้ำสูตร อะซิโตนและแอลกอฮอล์ และนำสะอาดปราศจากไอออน (deionized water) ตามลำดับ แล้วนำไปให้แห้งด้วยแก๊สไนโตรเจนที่มีความบริสุทธิ์สูง 99.99 % จากนั้นนำแผ่นซิลิกอนที่ทำความสะอาดแล้วไปวางบนที่ชุดฐานรอง (substrate holder)

ผงเหล็กและnickเกล (Fe:Ni powder) ที่มีความบริสุทธิ์สูง 99.99 % ด้วยสัดส่วนเหล็กต่อnickเกลเท่ากับ 50 : 50 โดยนำหานักได้รับจาก Johnson Mat Thew Electronics ถูกซึ้งด้วยเครื่องซั่งรายละเอียดสูงทวนนิยมสีดำแห่งนั่ง เพื่อให้ได้ปริมาณ 0.01 กรัม แล้วใส่ลงในเบ้าหลอมทังสเตน (tungsten boat) จัดให้เบ้าหลอมทังสเตนกับที่บดแผ่นฐานรองเป็นระบบห่างประมาณ 12 เซนติเมตร ดังภาพที่ 3.2 ภาชนะสูญญากาศ (vacuum chamber) ที่ใช้คือ Cooke vacuum product CV-300 vacuum chamber หลังจากนั้นเริ่มต้นเบิร์ดระบบสูญญากาศเพื่อเริ่มการทำงาน เมื่อภาชนะสูญญากาศมีความดันประมาณ 10^{-6} torr เติมแก๊สอาร์กอนที่มีความบริสุทธิ์สูง 99.99% เข้าไปในระบบสูญญากาศ ปรับเวลาทำงานสามารถรักษาความดันอาร์กอน (Ar) ประมาณ 200 mtorr จากนั้นปรับกระแสอย่างช้าๆ จนถึงประมาณ 60 แอมป์ เพื่อให้เบ้าหลอมทังสเตนได้รับความร้อน เป็นผลให้ผงเหล็กและnickเกลหลอมละลายและกลาญเป็นไอ โดยให้เวลาของการระเหยกลาญเป็น 10 วินาที ไอระเหยของโลหะผสมเหล็กและnickเกลจะตกเคลื่อนบนแผ่นซิลิกอน จากนั้นการนำแก๊สอาร์กอนเข้าไปในภาชนะสูญญากาศ เพื่อให้ไอระเหยของเหล็กและnickเกลกระจายสม่ำเสมอภายในภาชนะสูญญากาศและเพื่อให้ห้องต้มของเหล็กและnickเกลชนกัน รวมกันเป็นอนุภาคที่มีระดับขนาดอนุภาคนาโน และตกเคลื่อนเป็นฟิล์มบางบนแผ่นฐานรองซิลิกอน ทำการเตรียมตัวเร่งปฏิกิริยาตามขั้นตอนเดียวกันนี้ โดยเปลี่ยนแผ่นฐานรองซิลิกอน ภายใต้บรรยายของแก๊สอาร์กอนบริสุทธิ์ ที่ความดันอาร์กอน 300 mtorr และ 400 mtorr

หลังจากได้ออนุภาคตัวเร่งปฏิกิริยาเหล็กและnickเกลระดับขนาดนาโนบนแผ่นซิลิกอน เรานำแผ่นซิลิกอนไปศึกษานาดของอนุภาคโดยใช้ AFM กล้องจุลทรรศน์อิเล็กตรอนแบบส่อง粒化เพื่อนำแผ่นฐานรองซิลิกอนที่มีตัวเร่งปฏิกิริยาอนุภาคระดับนาโน ไปใช้ในการปลูกท่อนาโนควร์บอนในลำดับต่อไป

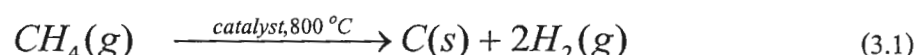


ภาพที่ 3.2 ไดอะแกรมแสดง vacuum chamber สำหรับการเตรียมตัวเร่งปฏิกริยานแฟ่นฐานรอง⁷

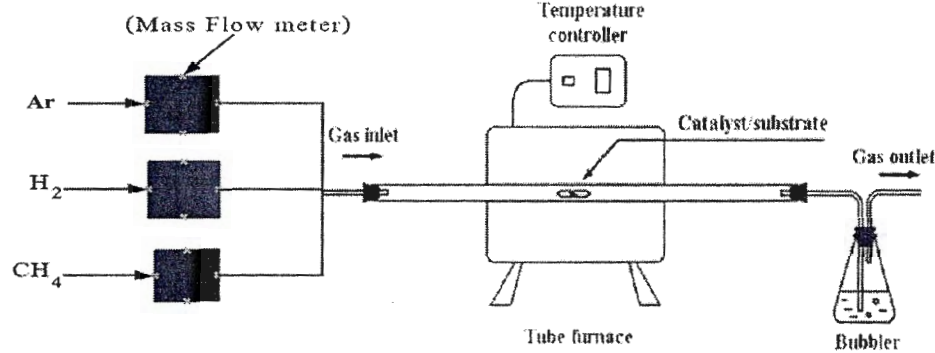
3.2 ขั้นตอนการสังเคราะห์ท่อนาโนคาร์บอน

แฟ่นซิลิกอนที่เคลือบด้วยโลหะตัวเร่งปฏิกริยาที่ได้จากการเตรียม โดยวิธีไอระเหยความร้อน ถูกใช้เป็นแฟ่นฐานรองในการสังเคราะห์ท่อนาโนคาร์บอน โดยนำแฟ่นซิลิกอนที่เคลือบด้วยตัวเร่งปฏิกริยาที่ความดันบรรยากาศของแก๊สอาร์กอน 200, 300 และ 400 mtorr วางในเบ้าหลอมอลูมินา (alumina boat) จากนั้นนำเบ้าหลอมอลูมินาไปวางในเตาปฏิกริยา (reactor) Lindberg Model 58125 ที่เป็นท่อควอทซ์ (quartz tube) วางในแนวระดับ โดยให้ด้านหน้าแฟ่นฐานรองที่เคลือบด้วยโลหะตัวเร่งปฏิกริยาหงายขึ้น ดังภาพที่ 3.3 กำหนดค่าอุณหภูมิการปลุกประมาณ 800 องศาเซลเซียส อุณหภูมิที่กำหนดคุณด้วยเครื่องควบคุมอุณหภูมิ Model 818 ปล่อยแก๊สอาร์กอนให้ไหลตลอดเวลาเพื่อไม่ล้ออากาศอื่นๆ ออกจากท่อควอทซ์ จากนั้นเปิดสวิตช์เตาปฏิกริยาและให้แก๊สไฮโดรเจนให้ไหลด้วยอัตราการไหลระหว่าง 50-100 sccm (standard cubic centimeter per minute) อัตราการไหลของแก๊สัดส่วนด้วย mass flow controller (MASS-FLO® Controller MKS instruments, inc)

แล้ว MKS 4-channel Readout Model 247C ในขณะเดียวกันก็ให้แก๊สอาร์กอน ไอลในอัตรา 70 sccm ตลอดเวลา แก๊สไฮโดรเจนถูกใช้เพื่อป้องกันการเกิดปฏิกิริยาของชั้นของโลหะตัวเร่งปฏิกิริยา แก๊สอาร์กอนถูกใช้เพื่อทำให้แก๊สไฮโดรเจนเลือจาง เมื่ออุณหภูมิเข้าถึงค่าที่กำหนดไว้ให้ปิดแก๊สไฮโดรเจน จากนั้นปล่อยแก๊สมีเทน (CH_4) ที่มีความบริสุทธิ์สูง 99.99 % ด้วยอัตราการไอล 10 sccm เพื่อเป็นสารตั้งต้นในการเกิดท่อนานในการนับอนโดยมีแก๊สอาร์กอนไอลตลอดเวลา เป็นเวลา 30 นาที จะเกิดปฏิกิริยาไฟฟ์โรไลซิส (pyrolytic reaction) ดังนี้



จากนั้นปิดวาล์วแก๊สมีเทน และปิดสวิตช์เตาปฏิกิริยาในขณะที่ปล่อยให้แก๊สอาร์กอนไอลต่อไปอีกจนอุณหภูมิลดลงเข้าใกล้อุณหภูมิห้องแล้วจึงปิดวาล์วแก๊สอาร์กอน เมื่ออุณหภูมิเตาเผาเย็นถึงอุณหภูมิห้องจึงนำตัวอย่าง ท่อนานในการนับอนบนแผ่นฐานรองซิลิกอนออกมารีดศักยามบัดจากนั้นทำการปลอกท่อนานในการนับอนใหม่ โดยเพิ่มอุณหภูมิเป็น 900 องศาเซลเซียส และ 1000 องศาเซลเซียส

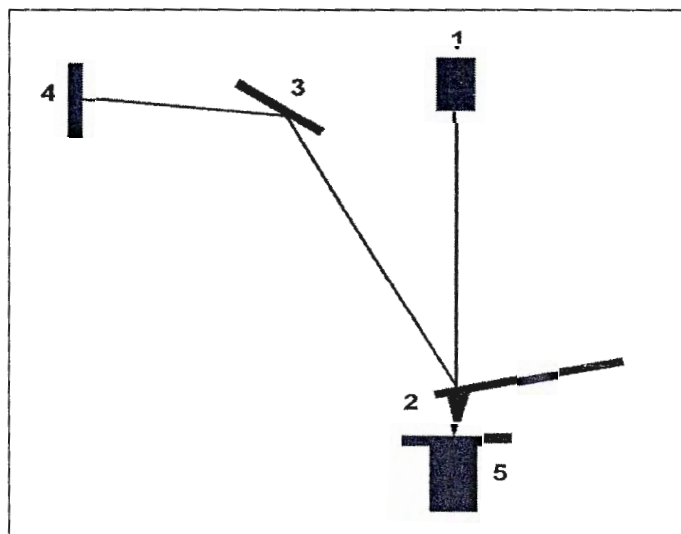


ภาพที่ 3.3 ไดอะแกรมแสดงเตาปฏิกิริยา (CVD reactor)

3.3 การศึกษาสมบัติของตัวอย่างด้วยกล้องจุลทรรศน์อิเลฟฟอเร็ม

กล้องจุลทรรศน์ AFM เป็นเครื่องมือที่ใช้ศึกษาวิเคราะห์พื้นผิวของวัตถุในระดับอะตอม เช่น พิวัสดุตัวนำ สารกึ่งตัวนำ และอนุวน รวมทั้งการศึกษาเกี่ยวกับตัวอย่างเซลล์ของสิ่งมีชีวิต กล้องจุลทรรศน์ AFM ทำงานโดยอาศัยหลักการของแรงผลักดันระหว่างอะตอมของพิวัตัวอย่างกับอะตอมที่ปุ่ลยาเหลมของเข็ม เพื่อรักษาขนาดของแรงให้คงที่เข็มที่ติดอยู่กับแกนติลิเวอร์ (cantilever) จะเคลื่อนที่ขึ้นลงในแนวระดับตามความสูงตัวของพิว แสงเลเซอร์ที่ตกรอบบนแกนติลิเวอร์ จะสะท้อนขึ้นไปตกกระทบหัววัด (detector) ดังแสดงในภาพที่ 3.4 ตำแหน่งที่ตกรอบบนหัววัดจะแปรค่าตามความสูงตัวของพิว สร้างสัญญาณที่ได้ถูกนำมาประมวลผล (process) และสร้างภาพทั้งสองและสามมิติ

ในการศึกษาการกระจายและขนาดลักษณะของอนุภาคระดับนาโน เราใช้กล้องจุลทรรศน์ AFM ของ Veeco Instrument (Model Aurora-3 NSOM) และควบคุมการทำงานและประมวลสัญญาณโดย Nanoscope® IIIa ของบริษัท Digital Instrument



ภาพที่ 3.4 ไอเดียกรนอย่างง่ายของกล้องจุลทรรศน์อิเลฟฟอเร็ม (AFM)⁷ เมื่อ

หมายเลข 1 = laser beam generator

2 = AFM scanning tip

3 = reflecting mirror

4 = sensitive photo detector

5 = piezo tube scanner with sample amounted on the top.

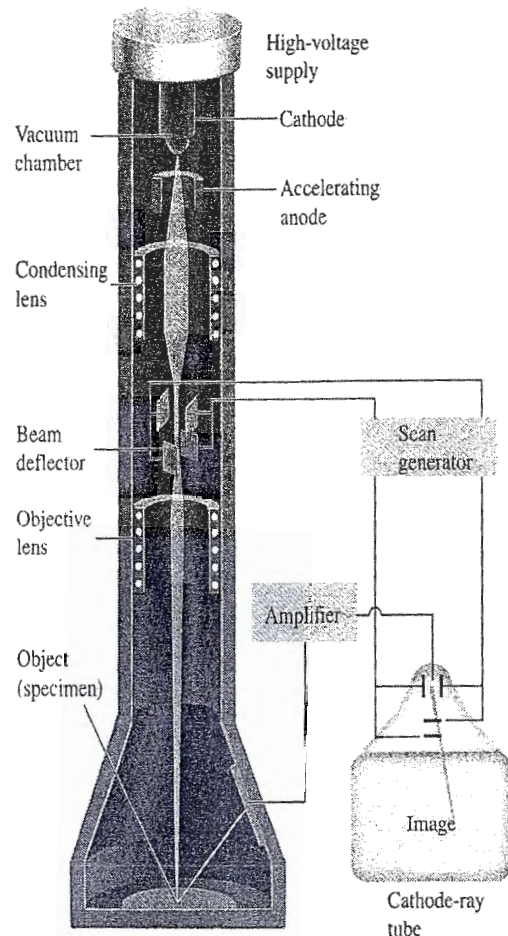
3.4 การศึกษาสมบัติของตัวอย่างด้วยกล้องจุลทรรศน์อิเล็กตรอนแบบส่องกราด (SEM)

กล้องจุลทรรศน์อิเล็กตรอนแบบส่องกราด เป็นเครื่องมือที่มีความจำเป็นอย่างยิ่งในการศึกษาวิจัยทางวิทยาศาสตร์ ทางการแพทย์ ทางโลหะวิทยา และอื่นๆ โดยใช้ศึกษาลักษณะโครงสร้าง การกระจายตัวของชาตุบันพืนผิwtawoyang และวิเคราะห์ชาตุที่เป็นองค์ประกอบของตัวอย่าง โดยคุณลักษณะภายนอกหรือรายละเอียดของพื้นผิwtawoyang ศึกษานำ้าตัดของโลหะ ศึกษาลักษณะผิวของเซลล์และเนื้อเยื่อ หลักการทำงานของ SEM คือแหล่งกำเนิดอิเล็กตรอน (electron gun) ทำหน้าที่ผลิตอิเล็กตรอนจากไส้หอดด (filament) และอิเล็กตรอนถูกเร่งด้วยศักยไฟฟ้าสูง (high voltage) จากนั้นอิเล็กตรอนถูกไฟฟ้าให้เป็นลำอิเล็กตรอนที่มีความเร็วสูงโดยเลนส์แม่เหล็กไฟฟ้า (electromagnetic condensing lens) จากนั้นลำอิเล็กตรอนจะส่องกราดไปบนผิwtawoyang โดยการบังคับของขดลวดสำหรับการส่องกราดโดยสนามแม่เหล็กไฟฟ้าจากขดลวดแทน (scanning coils) เมื่ออิเล็กตรอนตกลงบนผิwtawoyang ผิwtawoyangจะหันอิเล็กตรอน (secondary electron) และ กระแทบทัววัด (electron detector) ไดอะแกรมอย่างง่ายของกล้องจุลทรรศน์อิเล็กตรอนแบบส่องกราดแสดงในภาพที่ 3.5 ลัญญาณที่ได้ถูกนำมาประมวล (process) และสร้างภาพ

ในการทดลองนี้เราศึกษาฐานแบบและโครงสร้าง ลักษณะการกระจายของอนุภาคโลหะตัวเร่งปฏิกรณ์แบบฐานรองซิลิโคนและท่อนาโนคาร์บอน ด้วยกล้องจุลทรรศน์อิเล็กตรอนแบบส่องกราด (SEM) รุ่น JEOL JSM-6400F ของบริษัท JEOL กล้องจุลทรรศน์อิเล็กตรอนแบบส่องกราดนี้ พลิตอิเล็กตรอนจาก cold cathode field emission source มีรายละเอียดของภาพ (resolution) ได้ถึง 1.5 นาโนเมตร ขยายภาพได้สูงสุด 500,000 เท่า และอิเล็กตรอนสามารถถูกเร่งได้สูงสุด ถึง 30 KeV นอกเหนือนี้ กล้องจุลทรรศน์อิเล็กตรอนแบบส่องกราดยังมีเครื่องวิเคราะห์การกระจายพลังงานของรังสีเอ็กซ์(energy dispersive spectrometer, EDS) ซึ่งสามารถวิเคราะห์ชาตุที่เป็นองค์ประกอบของตัวอย่าง ได้ในระดับ 1 % โดยนำหนัก

พื้นผิวของตัวอย่างที่ศึกษาจะต้องเป็นตัวนำ และจะต้องสามารถถ่ายเทประจุจากตัวอย่างสู่กราวด์ (ground) ถ้าวัสดุนี้ไม่นำไฟฟ้าต้องเคลือบผิวน้ำชื่นงาน ด้วยฟิล์มบางเพื่อให้อิเล็กตรอนมีการไหลออกจากการนำ ได้มากที่สุด หากมีอิเล็กตรอนสะสมอยู่มาก อิเล็กตรอนที่สะสมจะรบกวนทั้งอิเล็กตรอนที่จะตกลงมา (primary electron) และอิเล็กตรอนที่ทำให้เกิดภาพ (secondary electron) ทำให้ไม่สามารถโฟกัสภาพ วัสดุที่นิยมนำมาใช้เคลือบผิวได้แก่ ทอง ทองผสมแพลทินัม และคาร์บอน การเคลือบด้วยทองหรือทองผสมแพลทินัมจะให้ได้ภาพที่คมชัดกว่าการเคลือบด้วยคาร์บอน ในการทดลองนี้ ผิวน้ำของตัวอย่างถูกเคลือบฟิล์มบางด้วยทองผสมแพลทินัม โดยวิธีดีซีสปั๊ตเตอร์ริง (DC sputtering) ด้วยเครื่องเคลือบฟิล์มบางรุ่น EMITECH K550 เพื่อให้เกิดฟิล์มบางที่

นำไฟฟ้ามีความแรง 15 นาโนแอมป์ แล้วนำตัวอย่างที่เคลือบฟิล์มนางไปศึกษาในขั้นตอนต่อไป



ภาพที่ 3.5 ไดอะแกรมอย่างง่ายของกล้องจุลทรรศน์อิเล็กตรอนแบบส่องกราด (SEM)⁴⁹

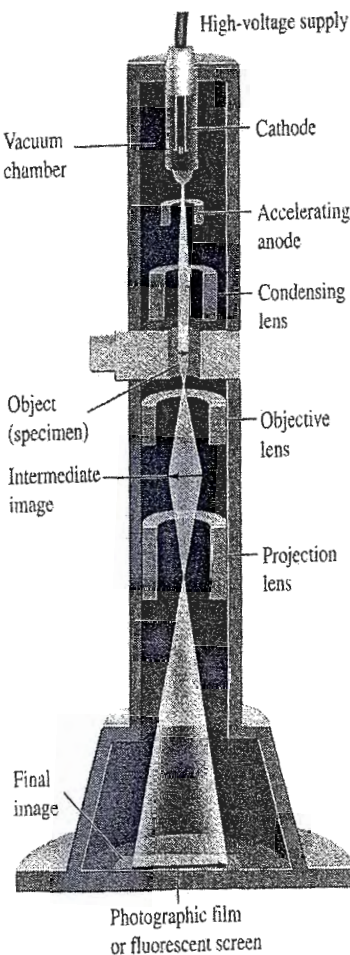
3.5 การศึกษาสมบัติของตัวอย่างด้วยกล้องจุลทรรศน์อิเล็กตรอนแบบส่องผ่าน (TEM)

กล้องจุลทรรศน์อิเล็กตรอนแบบส่องผ่าน เป็นเครื่องมือใช้ในการศึกษารายละเอียดของตัวอย่างที่ต้องการจะตรวจสอบได้ถึงระดับโมเลกุล มีความสำคัญต่อการศึกษาโครงสร้างต่างๆ ของเซลล์ลักษณะของเนื้อเยื่อหุ้มเซลล์ ลักษณะของเนื้อเยื่อต่างๆ ตลอดจนการศึกษาเชื้อไวรัส ถือว่ากล้องจุลทรรศน์อิเล็กตรอนแบบส่องผ่าน มีประโยชน์อย่างมากที่จะใช้ในการศึกษา วิจัยและช่วยวินิจฉัยโรคในกรณีที่ไม่สามารถตรวจดูด้วยกล้องจุลทรรศน์แบบธรรมชาติ กล้องชนิดนี้มีความสามารถแยกแยะรายละเอียดของภาพเป็นแบบจุด ได้ในระดับนาโนเมตร โดยทั่วไปกล้องจุลทรรศน์อิเล็กตรอนแบบส่องผ่านจะทำงานคล้ายกับจุลทรรศน์แบบธรรมชาติ (optical microscope) แต่ต่างกันที่กล้องจุลทรรศน์อิเล็กตรอนแบบส่องผ่านใช้ลำอิเล็กตรอน (electron beam) แทนแสง ดังนั้นจึงให้รายละเอียดสูงเนื่องจากความยาวคลื่นของอิเล็กตรอนสั้นมากเมื่อเทียบกับความยาวคลื่นแสงที่ตามองเห็น

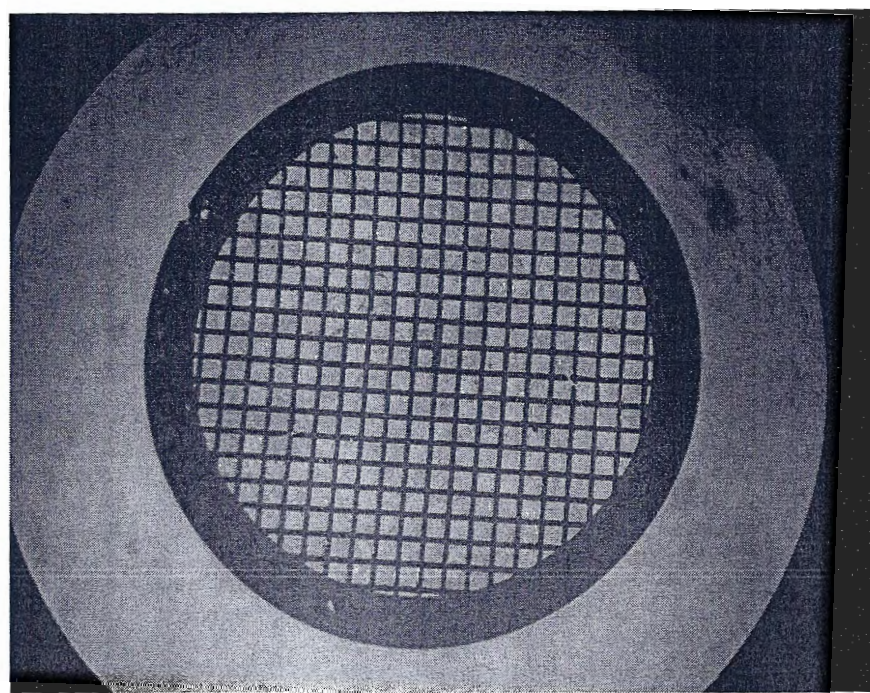
ໄ枯燥ะแกรมอย่างง่ายของกล้องจุลทรรศน์อิเล็กตรอนแบบส่องผ่านดังแสดงด้วยภาพที่ 3.6 หลักการทำงานของกล้องจุลทรรศน์อิเล็กตรอนแบบส่องผ่าน เริ่มต้นเมื่ออิเล็กตรอนถูกผลิตจากแหล่งกำเนิดอิเล็กตรอนด้วยไส้หลอด (filament) หรือ cold cathode field emission จากนั้นอิเล็กตรอนจะถูกเร่งด้วยตัวคายไฟฟ้าสูงจาก 10 KeV ถึง 200 KeV จากนั้นอิเล็กตรอนเคลื่อนที่ผ่าน electromagnetic condensing lenses จะถูกโฟกัสให้เป็นลำอิเล็กตรอนที่มีความเข้มสูงไปกระทบตัวอย่างหรือวัตถุที่ต้องการศึกษาโดยทั่วไปตัวอย่างจะต้องมีความบางมาก ในระดับ 10-100 นาโนเมตร เมื่ออิเล็กตรอนผ่านเลนส์ใกล้วัตถุ (electromagnetic objective lens) จะเกิดภาพระดับกลาง (intermediate image) สุดท้ายจะมี electromagnetic projector lens ขยายภาพระดับกลางไปสู่ภาพสุดท้าย และภาพสุดท้ายมีกำลังขยายสูงสุดถึง 1,000,000 เท่า

ในการทดลองนี้ กล้องจุลทรรศน์อิเล็กตรอนแบบส่องผ่านชนิดรายละเอียดสูง (high resolution transmission electron microscope, HRTEM) รุ่น JEOL 2000FX ถูกใช้เป็นเครื่องมือในการศึกษาลักษณะว่าเป็นท่อนาโนคาร์บอนเป็นแบบผังชั้นเดียวหรือผังหลายชั้น แหล่งกำเนิดอิเล็กตรอน คือ electron field emission source สามารถปลดปล่อยอิเล็กตรอนความเข้มสูงในระดับขนาด 10^{-6} A/cm^2 สามารถแยกแยะรายละเอียดของภาพเป็นแบบจุดได้สูงสุด 0.2 นาโนเมตร ด้วยกำลังขยาย 1,000,000 เท่าและสามารถขยายได้สูงถึง 10,000,000 เท่าในโหมด scanning TEM แสดงผลโดยทางมอนิเตอร์ (monitor) ที่มีอุปกรณ์กล้องซีซีดี (charge couple device digital camera)

การเตรียมตัวอย่างสำหรับการวัด TEM ทำได้โดยใช้กริดทองแดง (copper grid) ดังแสดงในดังภาพที่ 3.7 บุ德ผิวฐานรองที่มีท่อนาโนคาร์บอน หรือใช้ใบมีดบุเดท่อนาโนคาร์บอนให้คล่องบนกริดทองแดง ตัวอย่างท่อนาโนคาร์บอนที่ตกลงบนกริด ความเมื่นนาดลึกลำบู๊ในช่องสีเหลืองได้พอดี หากท่อนาโนคาร์บอนเมื่นนาดยาวจะทำให้วางพาดเกย



ภาพที่ 3.6 ไคอะแกรนอย่างง่ายของกล้องจุลทรรศน์อิเล็กตรอนแบบส่องผ่าน (TEM)⁴⁹



ภาพที่ 3.7 ภาพกริดทองแดงขนาดเส้นผ่านศูนย์กลาง 3 mm ถ่ายโดยกล้อง stereoscopic zoom Olympus optical microscope กำลังขยาย 100 เท่า กริดทองแดงนี้ใช้สำหรับเป็นฐานรองของท่อนาโนคาร์บอนเพื่อทำการศึกษาด้วยกล้องจุลทรรศน์อิเล็กตรอนแบบส่องผ่าน

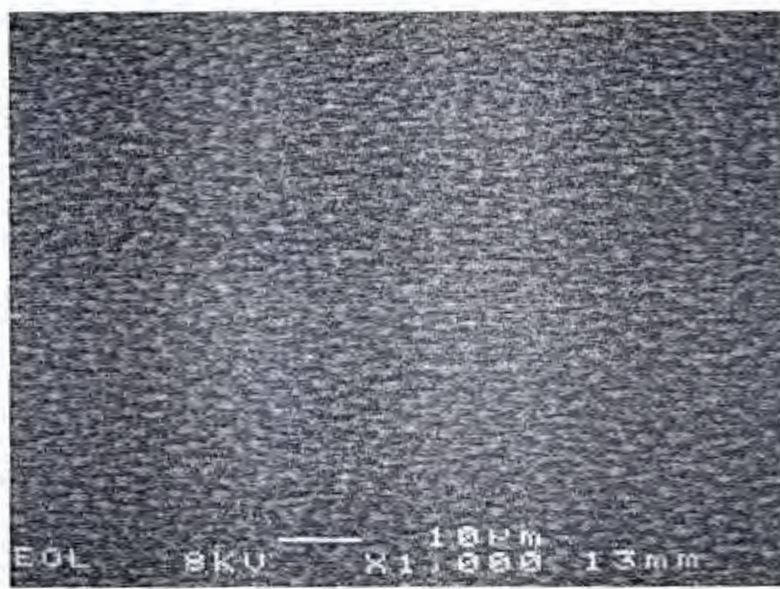
กริดทองแดงเส้นผ่านศูนย์กลางขอบค้านนอก 3 mm จำนวน 298 ช่อง ถ่ายภาพด้วยกล้อง stereoscopic zoom Olympus optical microscope รุ่น SZX9 กำลังขยาย 100 เท่า

บทที่ 4

ผลการทดลอง

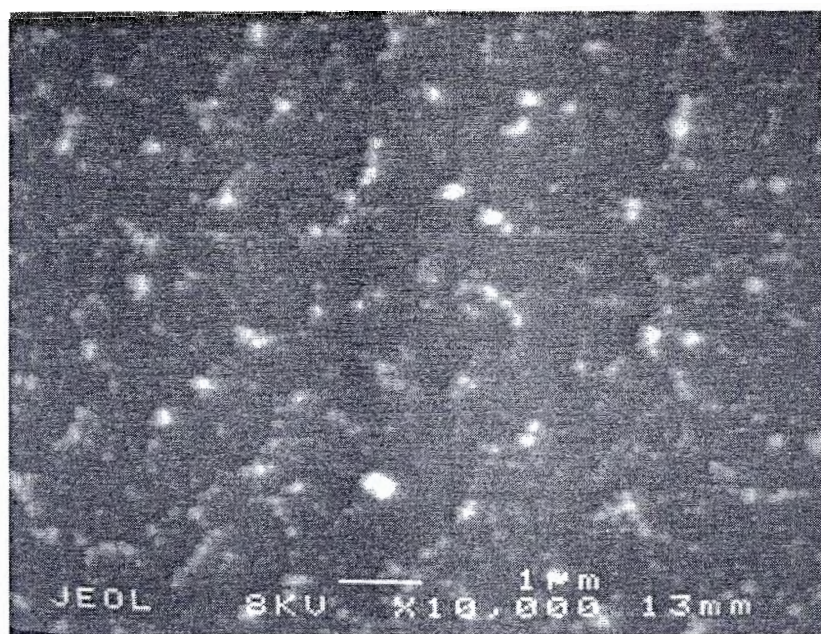
4.1 ตัวเร่งปฏิกริยาเหล็ก-นิกเกลที่มีขนาดอนุภาคระดับนาโน

ตัวเร่งปฏิกริยาเหล็ก-นิกเกล ที่ตกเคลือบบนแผ่นฐานรองซิลิคอน ถูกศึกษาวิเคราะห์เพื่อในระดับของตัวยกล้องจุลทรรศน์ AFM และ ศึกษารูปแบบและโครงสร้าง ลักษณะการกระจายของอนุภาคโดยใช้ตัวเร่งปฏิกริยานฐานรองซิลิคอน ตัวยกล้องจุลทรรศน์อิเล็กตรอนแบบส่อง粒粒 ผลจาก การทดลองพบว่าขนาดและรูปร่างของอนุภาคตัวเร่งปฏิกริยาเหล็ก-นิกเกล ขึ้นอยู่กับความดันของแก๊ส อาร์กอน ภายในภาชนะสุญญากาศขณะสังเคราะห์ ตัวเร่งปฏิกริยาที่สังเคราะห์ที่ความดันแก๊สอาร์กอน 200,300 และ 400 mtorr อนุภาคของตัวเร่งปฏิกริยา ก่อน anneal ถูกตรวจวัดด้วยกล้องจุลทรรศน์แบบ ส่อง粒粒 มีลักษณะเป็นฟิล์มบาง (film) หรืออะมอร์ฟิส (amorphous) อนุภาคมีการกระจายตัวอย่าง สม่ำเสมอ ดังแสดงในภาพที่ 4.1



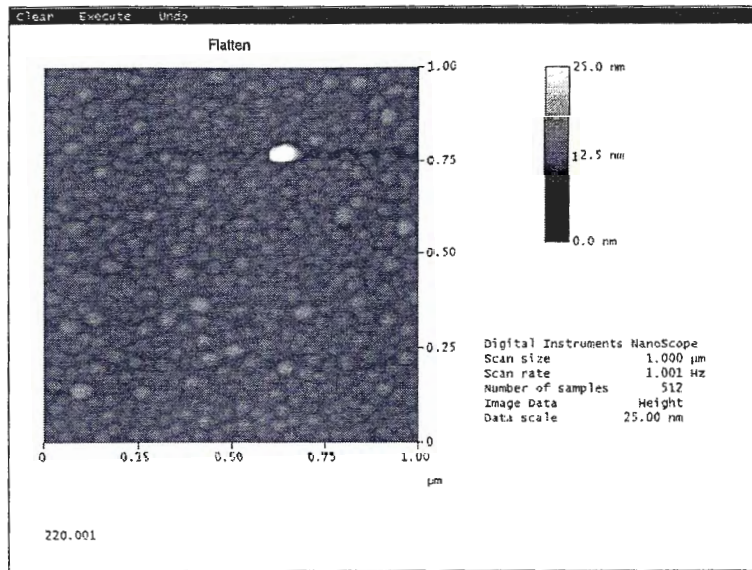
ภาพที่ 4.1 แสดงอนุภาคตัวเร่งปฏิกริยาเหล็ก-นิกเกล สังเคราะห์ที่ความดันแก๊สอาร์กอน 200 mtorr ก่อน anneal โดยกล้องจุลทรรศน์อิเล็กตรอนแบบส่อง粒粒

อนุภาคตัวเร่งปฏิกิริยาเหล็ก-นิกเกลที่สังเคราะห์ภายใต้ความดันบรรยากาศแก๊สอาร์กอน 200 mtorr เมื่อผ่านการ anneal ที่อุณหภูมิ 900 องศาเซลเซียส ภายใต้บรรยากาศของแก๊สอาร์กอนและไฮโดรเจน พิล์มนบางหรืออะมอร์ฟส์ ของตัวเร่งปฏิกิริยาเหล็ก-นิกเกล หลอมรวมกันเป็นอนุภาคที่มีขนาดระหว่าง 10-100 nm กระจายอยู่ทั่วพิวหน้าของแผ่นชิลิกอน พื้นผิวขรุขระซัดเจนมากขึ้นกว่าเดิม ดังแสดงด้วยภาพที่ 4.2

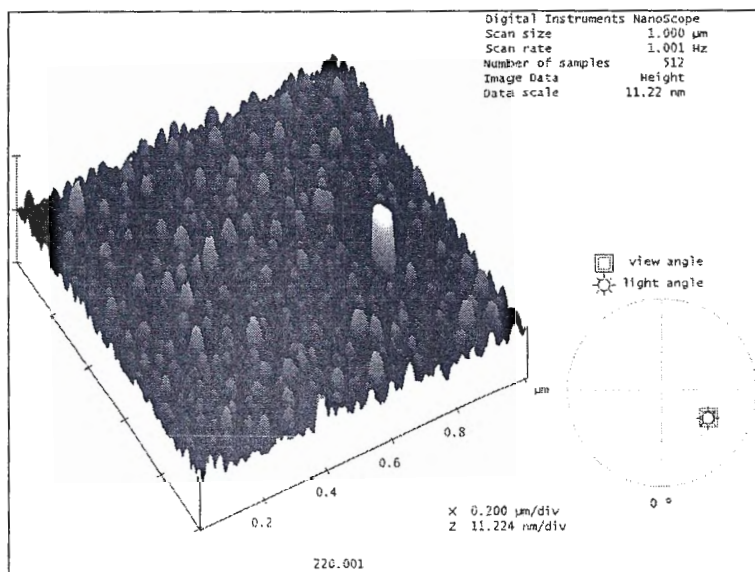


ภาพที่ 4.2 แสดงขนาดของอนุภาคตัวเร่งปฏิกิริยาเหล็ก-นิกเกล สังเคราะห์ที่ความดันแก๊สอาร์กอน 200 mtorr หลังการ anneal โดยกล้องจุลทรรศน์อิเล็กตรอนแบบส่องกราด

อนุภาคตัวเร่งปฏิกิริยาเหล็ก-นิกเกลที่สังเคราะห์ภายใต้ความดันบรรยากาศแก๊สอาร์กอน 300 mtorr เมื่อผ่านการ anneal ที่อุณหภูมิ 900 องศาเซลเซียสภายใต้บรรยากาศของแก๊สอาร์กอนและไฮโดรเจน ถูกศึกษาด้วยกล้องจุลทรรศน์อิเล็กตรอน เรายพบว่าอนุภาคเหล่านี้จะเกิดการรวมตัวเป็นกรรจุก (cluster) ขนาดและความสูงของกรรจุกไม่เท่ากัน กรรจุกมีการกระจายตัวอยู่บนพิวหน้าอย่างสม่ำเสมอ ไม่เปียดชิดกัน และอยู่ทั่วไปบนพิวหน้าฐานรอง กรรจุกมีขนาดเฉลี่ยประมาณ 20-30 nm ความสูงอยู่ระหว่าง 20-24 nm ดังแสดงด้วยภาพที่ 4.3

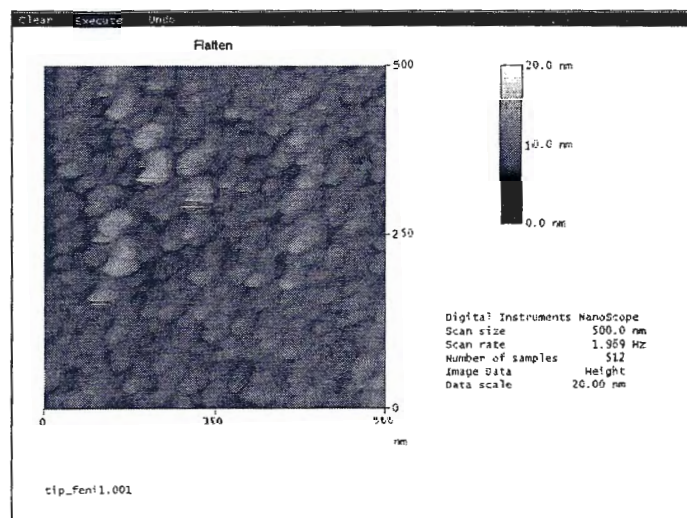


(a)

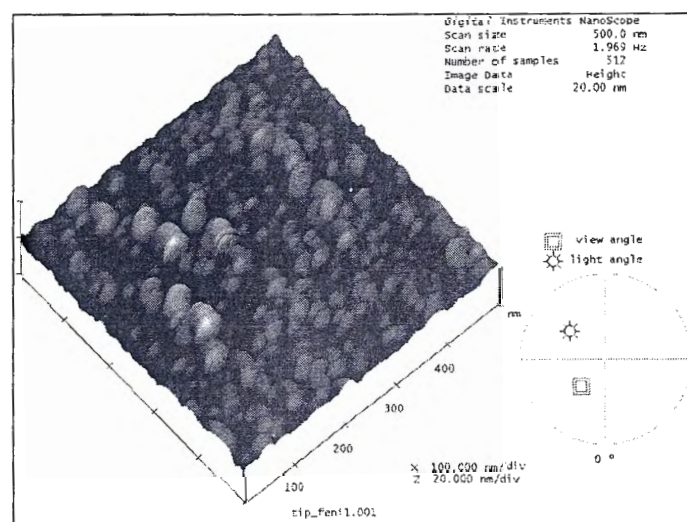


(b)

ภาพที่ 4.3 (a) แสดงขนาดของอนุภาคตัวเร่งปฏิกิริยาสังเคราะห์ที่ความดันบรรยายกาศเกือบ
อาร์กอน 300 mtorr หลังการ anneal โดยกล้องจุลทรรศน์อิเลฟเฟิ่ม
(b) ภาพจากกล้องจุลทรรศน์ AFM แสดงความหนาแน่นของ อนุภาคตัวเร่งปฏิกิริยา
เหล็ก-nickelสังเคราะห์ที่ 300 mtorr หลังการ anneal โดยกล้องจุลทรรศน์อิเลฟเฟิ่ม



(a)



(b)

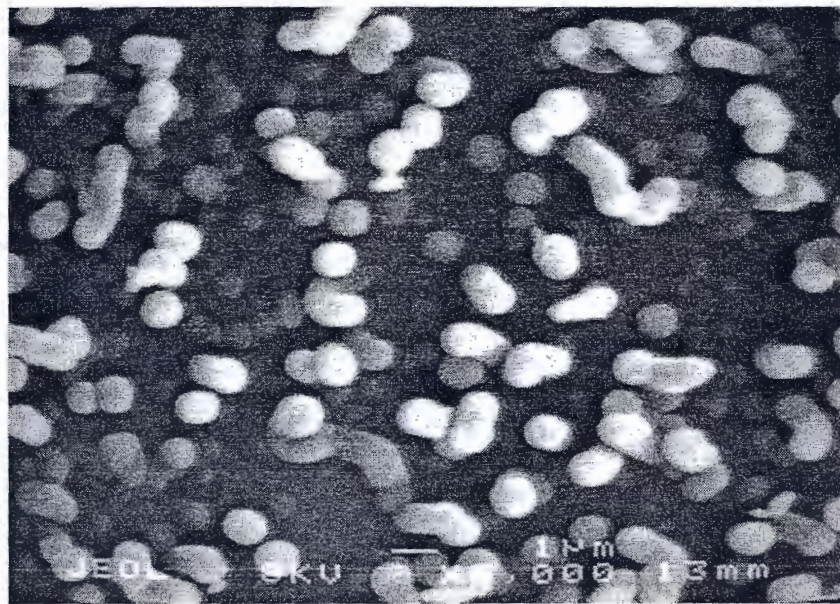
ภาพที่ 4.4 (a) แสดงขนาดของอนุภาคตัวเร่งปฏิกิริยา สังเคราะห์ที่ความดันบรรยากาศแก่สารก่อน 400 mtorr หลังการ anneal โดยกล้องจุลทรรศน์เออฟเอ็ม
 (b) ภาพจากกล้องจุลทรรศน์ เออฟเอ็ม แสดงความหนาแน่นของอนุภาคตัวเร่งปฏิกิริยา หลัก-นิกเกิลสังเคราะห์ที่ 400 mtorr หลังการ anneal โดยกล้องจุลทรรศน์เออฟเอ็ม

อนุภาคตัวเร่งปฏิกิริยาเหล็ก-นิกเกิลที่สังเคราะห์ภายใต้ความดันบรรยายกาศแก๊สร้อคัน 400 mtorr เมื่อผ่านการ anneal พบร่องอนุภาคเกิดการรวมตัวเป็นกราฟฟิก และกระจายอยู่อย่างหนาแน่นเบียดซิดกันมาก ขนาดของกราฟฟิกแต่ละอันไม่เท่ากัน โดยทั่วไปกราฟฟิกมีขนาดประมาณ 40-50 nm มีความสูงอยู่ระหว่าง 15-18 nm เมื่อเปรียบเทียบกับอนุภาคที่สังเคราะห์ที่ความดันแก๊สร้อคัน 300 mtorr พบร่วมกันขนาดใหญ่กว่าแต่มีความสูงน้อยกว่า ดังแสดงด้วยภาพที่ 4.4

จากการศึกษา เรายังว่าความหนาแน่นของอนุภาคตัวเร่งปฏิกิริยาเหล็ก-นิกเกิล สังเคราะห์ภายใต้ความดันบรรยายกาศของแก๊สร้อคัน 400 mtorr มีขนาดใหญ่และความหนาแน่นสูงกว่าอนุภาคตัวเร่งปฏิกิริยาที่สังเคราะห์ภายใต้ความดันบรรยายกาศของแก๊สร้อคัน 300 mtorr ทั้งนี้เนื่องมาจากการที่ความดันของก๊ازาร์กอนสูง (400 mtorr) ระยะปลดและการชน (mean free path) จะมีค่าน้อย ทำให้ไอระเหยของอะตอมเหล็ก-นิกเกิลมีโอกาสชนกันเองและชนกับแก๊สร้อคันทำให้ไม่เลกูลของเหล็ก-นิกเกิล ที่ระเหยขึ้นไปรวมตัวกันเป็นกราฟฟิกที่ใหญ่ขึ้นและเกิดการควบแน่นกลาญเป็นอนุภาคของแข็งมีขนาดใหญ่ขึ้นก่อนแล้วจึงตกเคลือบบนฐานรองซิลิกอน ดังนั้น การแปรค่าความดันของแก๊สร้อคันภายใต้สภาวะสุญญากาศขณะทำการตกเคลือบอนุภาคตัวเร่งปฏิกิริยา ทำให้เราได้ขนาดของอนุภาคตัวเร่งปฏิกิริยาเหล็ก-นิกเกิลต่างกัน

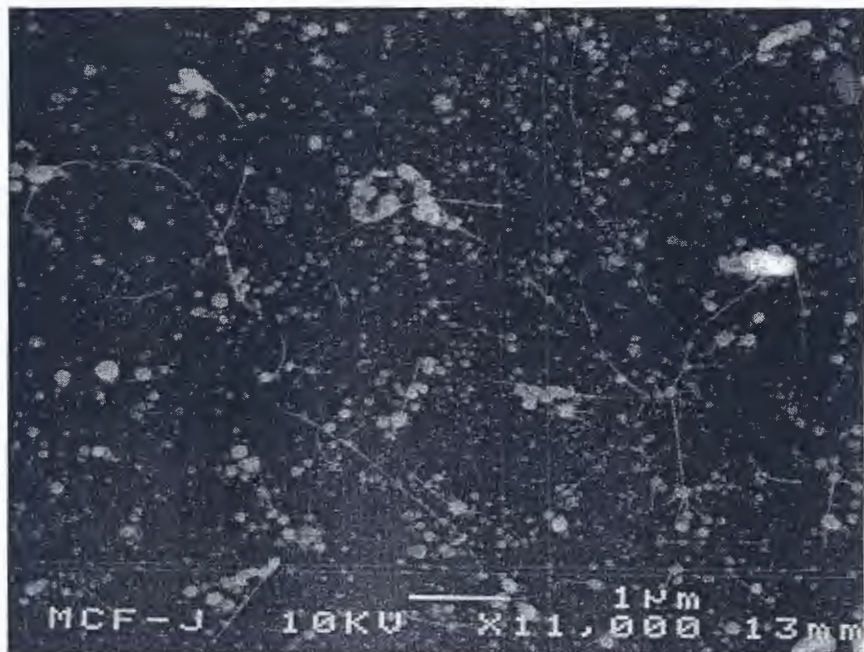
4.2 ท่อนานองการ์บอน

ท่อนานองการ์บอนที่สังเคราะห์โดยใช้อัตราการไหลของแก๊ส CH_4 เป็นแหล่งกำเนิดการ์บอนเท่ากันและปัจจัยอื่นๆ เหมือนกันดังกล่าวในบทที่ 3 ช่วงอุณหภูมิการปลูกแพร่ค่าจาก 800-1000 องศาเซลเซียส พบร่วมกับการปลูกท่อนานองโดยใช้ตัวเร่งปฏิกิริยาที่สังเคราะห์ภายใต้ความดันแก๊สร้อคัน 200 mtorr ที่อุณหภูมิซึ่งแปรค่าจาก 800-1000 องศาเซลเซียส ไม่ประสบความสำเร็จในการเกิดท่อนานองการ์บอน อย่างไรก็ตามที่อุณหภูมิประมาณ 900 องศาเซลเซียส พบร่วมกับการสังเคราะห์ท่อนานองการ์บอนภายใต้ความดันก๊ازาร์กอน 200 mtorr ผลที่ได้คือเกิดการ์บอนไฟเบอร์ (carbon fiber) หรืออะมอร์ฟิกการ์บอน (carbon amorphous) ดังแสดงด้วยภาพที่ 4.5



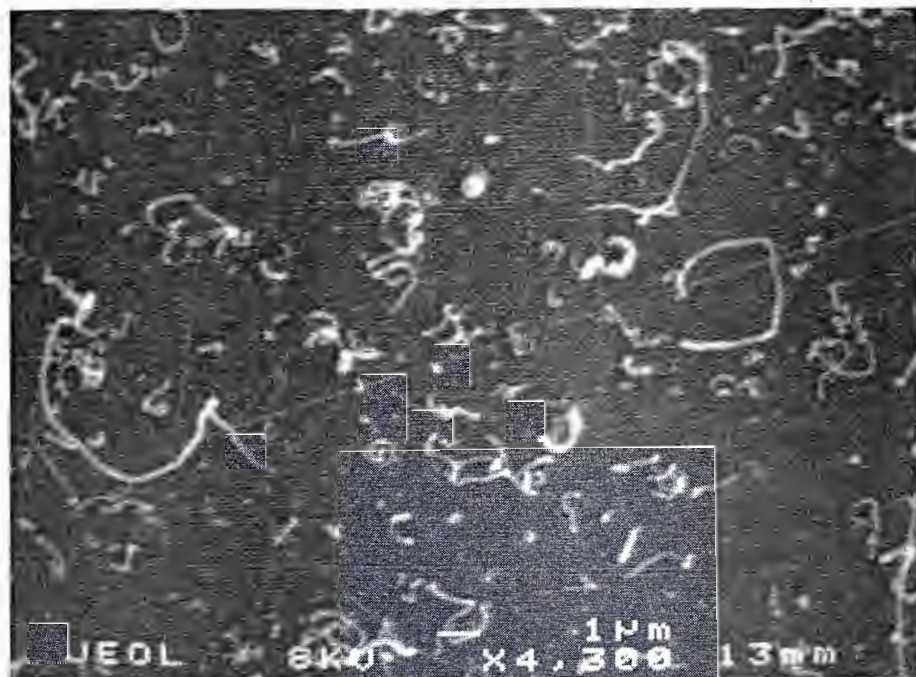
ภาพที่ 4.5 แสดงการ์บอนไไฟเบอร์ หรือ อะมอร์ฟิสคาร์บอน โดยกล้องจุลทรรศน์อิเล็กตรอนแบบส่อง粒ด ถ่ายภาพด้วยกำลังขยาย 5,000 เท่า การ์บอนไไฟเบอร์มีลักษณะเป็นกลุ่มก้อนสีขาว

เมื่อเราสังเคราะห์ท่อนาโนคาร์บอนบนแผ่นฐานรองที่มีตัวเร่งปฏิกิริยาที่สังเคราะห์ที่ความดันบรรยากาศเกือบาร์กอน 300 mtorr พบร่วมกับการสังเคราะห์ท่อนาโนคาร์บอนที่อุณหภูมิ 800 องศาเซลเซียส ท่อนาโนคาร์บอนที่สังเคราะห์ได้ ส่วนใหญ่มีขนาดลักษณะที่ต่างกันมาก ยกตัวอย่าง มีการ์บอนไไฟเบอร์เจือปนอยู่ทั่วไป เราพบว่า¹⁷ เมื่อเพิ่มอุณหภูมิการสังเคราะห์เป็น 860 องศาเซลเซียส ความยาวของท่อนาโนคาร์บอนที่สังเคราะห์ได้โดยรวม มีการ์บอนไไฟเบอร์เจือปนอยู่ทั่วไปความยาวของท่อที่สังเคราะห์ได้ยาวประมาณ 1-6 μm ดังแสดงด้วยภาพที่ 4.6 และยังแสดงคลื่นงานวิจัยของ Campbell และคณะ⁵⁰ ได้ทำการสังเคราะห์ท่อนาโนคาร์บอนด้วยวิธี CVD โดยการเพิ่มอุณหภูมิการสังเคราะห์เป็น 875 องศาเซลเซียส เขางบว่าท่อนาโนคาร์บอนมีความยาวเพิ่มขึ้นประมาณ 2 ถึง 9 μm มีรัศมีความโค้งเพิ่มขึ้นและปานเปี้ยนด้วยการ์บอนไไฟเบอร์



ภาพที่ 4.6 แสดงท่อนาโนการ์บอนปูกลูกที่อุณหภูมิ 860 องศาเซลเซียส โดยกล้องจุลทรรศน์อิเล็กตรอนแบบส่องกราด ถ่ายภาพด้วยกำลังขยาย 11,000 เท่า ท่อนาโนการ์บอนมีลักษณะเป็นเส้นโค้งหยกงอ คาร์บอนไฟเบอร์มีลักษณะเป็นกลุ่มก้อนสีขาว ส่วนชุดสีขาวที่มีขนาดเล็กคืออนุภาคตัวเร่งปฏิกิริยา

นอกจากนี้เราพบว่าเมื่อทำการทดลองสังเคราะห์ท่อนาโนการ์บอนที่อุณหภูมิ 900 องศาเซลเซียส ท่อนาโนการ์บอนที่สังเคราะห์ได้มีลักษณะเป็นเส้นตรงและมีความยาวมากขึ้น โดยมีความยาวประมาณ 6 - 30 μm และมีการ์บอนนาโนไฟเบอร์ปนเปื้อนเล็กน้อย โดยทั่วไปการ์บอนนาโนไฟเบอร์จะมีขนาดใหญ่กว่าท่อนาโนการ์บอนมีเส้นผ่าวนิยม 100 nm ดังแสดงด้วยภาพที่ 4.7

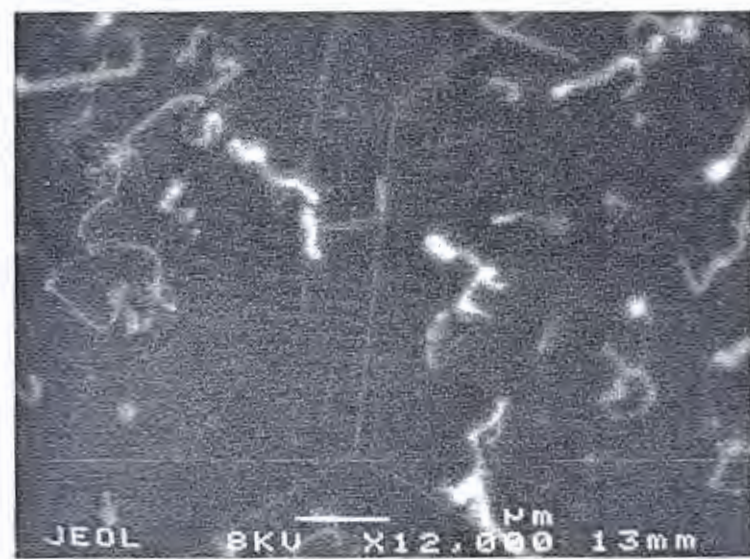


ภาพที่ 4.7 แสดงลักษณะของท่อนาโนการ์บอนที่ปลูกบนตัวเร่งปฏิกิริยา ที่สังเคราะห์ภายใต้ความดัน
บรรยากาศแก๊สสาร์กอน 300 mtorr อุณหภูมิการปลูก 900 องศาเซลเซียส โดยกล้อง<sup>จุลทรรศน์อิเล็กตรอนแบบส่องกราด ถ่ายภาพด้วยกำลังขยาย 4,300 เท่า ท่อนาโนการ์บอน
คือเส้นตรงสีขาว ส่วนการ์บอนไฟเบอร์มีลักษณะเป็นเส้นสีขาวโค้งงอนขาดใหญ่</sup>

เมื่อทำการทดลองปลูกท่อนาโนการ์บอน บนตัวเร่งปฏิกิริยาที่สังเคราะห์ภายใต้ความดัน
บรรยากาศ แก๊สสาร์กอน 300 mtorr โดยเพิ่มอุณหภูมิการสังเคราะห์เป็นประมาณ 1000 องศาเซลเซียส
ผลการทดลองพบว่าไม่ประสบความสำเร็จในการเกิดท่อนาโนการ์บอน ผลที่เกิดขึ้นคือมีการ์บอนไฟ
เบอร์หรือ อะมอร์ฟคาร์บอน



(a)



(b)

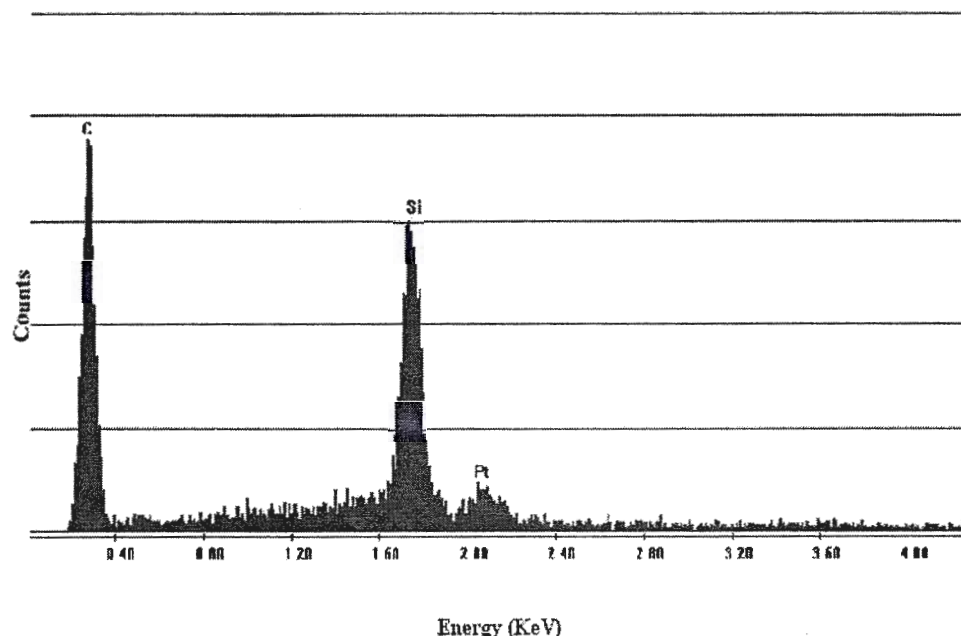
- ภาพที่ 4.8** แสดงท่อนาโนการ์บอน ตั้งเคราะห์ที่อุณหภูมิ 900 องศาเซลเซียสโดยกล้องจุลทรรศน์อิเล็กตรอนแบบส่องกราด ท่อนาโนการ์บอนคือเส้นตรงสีขาว
- แสดงลักษณะของท่อเส้นตรง (nanojunction) ถ่ายภาพด้วยกำลังขยาย 6,500 เท่า
 - แสดงลักษณะของท่อนาโนการ์บอนที่เป็นข้อต่อ (nanojunction) ถ่ายภาพด้วยกำลังขยาย 12,000 เท่า

การสังเคราะห์ท่อนาโนคาร์บอนบนฐานรองซิลิกอน ที่มีอนุภาคตัวเร่งปฏิกิริยาที่สังเคราะห์ภายในได้ความดันบรรยายกาศของแก๊สอาร์กอน 400 mtorr ที่อุณหภูมิประมาณ 800-1000 องศาเซลเซียส พบว่าไม่เกิดท่อนาโนคาร์บอน แต่ผลที่เกิดขึ้นคือมีการ์บอนไฟเบอร์ หรือ อะมอร์ฟิสคาร์บอน

จากผลการทดลองเราพบว่าขนาดของตัวเร่งปฏิกิริยาเหล็กและนิกเกิลที่เตรียมภายในได้บรรยายกาศของแก๊สอาร์กอน ที่ 300 mtorr โดยมีแก๊สมีเทน (CH_4) เป็นแหล่งกำเนิดการ์บอนชั่งอัตราการไหลเป็น 10 sccm เท่านั้นที่สังเคราะห์ท่อนาโนคาร์บอนได้ด้วยวิธีไอระเหยทางเคมี และเรา秧งพบว่าคุณภาพของท่อนาโนคาร์บอนที่ปู Kubn ตัวเร่งปฏิกิริยาที่สังเคราะห์ที่ความดันบรรยายกาศแก๊สอาร์กอน 300 mtorr ช่วงอุณหภูมิการปู Kubn 900 องศาเซลเซียส จะเป็นเส้นตรง และข้อต่อ (nanojunction) ที่ท่อนาโน คาร์บอน และมีความยาวมาก แต่ยังมีการ์บอนไฟเบอร์เจือปนอยดังแสดงด้วยภาพที่ 4.8 ซึ่งผลการทดลองนี้สอดคล้องกับการทดลองของ Moshkalyov และคณะ⁵¹ ได้ทำการทดลองปู Kubn ท่อนาโน คาร์บอนด้วยวิธีไอระเหยเคมี โดยใช้ฟิล์มนางของนิกเกิลเป็นตัวเร่งปฏิกิริยาและ ใช้มีเทน (CH_4) เป็นแหล่งกำเนิดของการ์บอน ผลการทดลองพบว่า ที่อุณหภูมิการปู Kubn 900 องศาเซลเซียส ท่อนาโนคาร์บอนที่ได้จะเป็นเส้นตรงที่มีความยาวมากกว่าปู Kubn ที่ช่วงอุณหภูมิการปู Kubn ที่ต่ำกว่านี้หรือสูงกว่านี้

4.3 การวิเคราะห์การกระจายพลังงาน (EDS)

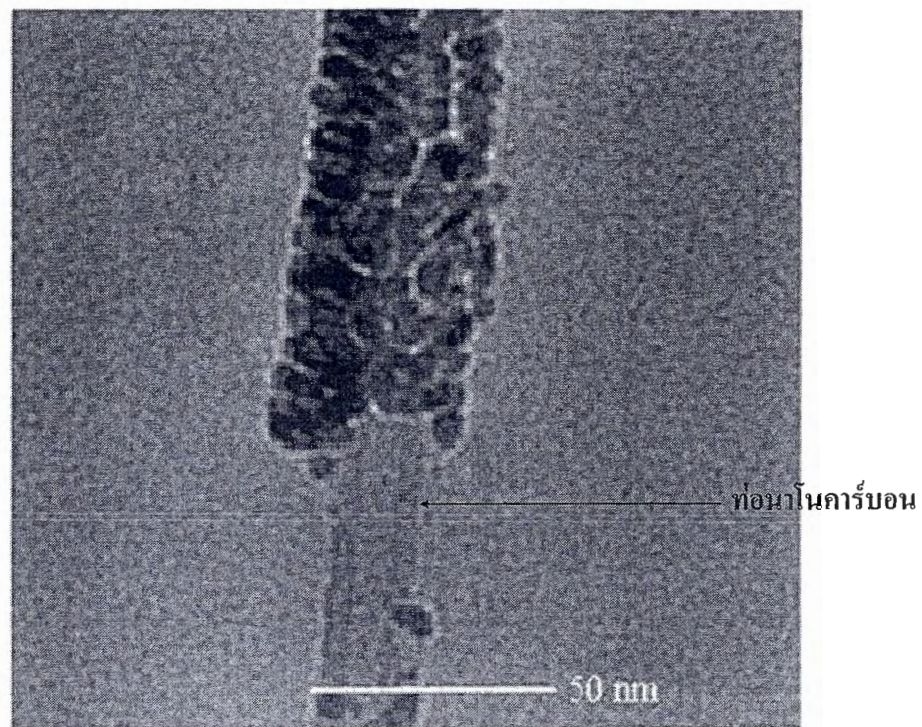
ผลการวิเคราะห์การกระจายพลังงาน (EDS) ของตัวอย่างที่เกิดท่อนาโนคาร์บอนพบว่า ตัวอย่างมีส่วนประกอบของชาตุคาร์บอน (C) ซึ่งอาจอยู่ในรูปของท่อนาโนคาร์บอนและการ์บอนไฟเบอร์ ซิลิกอน (Si) คือส่วนที่เป็นฐานรองที่ใช้ปู Kubn ท่อนาโนคาร์บอน และ เพลทินัม (Pt) คือโลหะที่ใช้เคลือบ (coater) เพื่อศึกษาสมบัติของตัวอย่างที่ใช้ศึกษาด้วยกล้องจุลทรรศน์แบบสแกน ดังแสดงด้วยภาพที่ 4.9



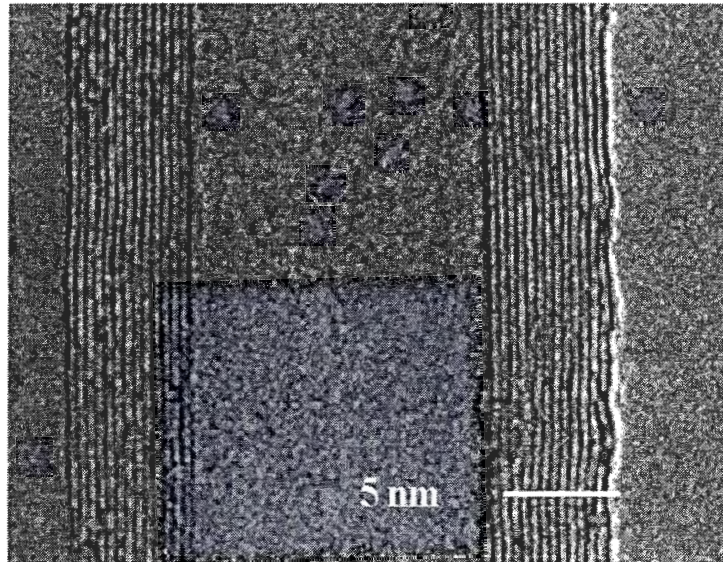
ภาพที่ 4.9 แสดงข้อมูล EDS ธาตุที่เป็นองค์ประกอบของตัวอย่างที่เกิดท่อนาโนการ์บอน

4.4 การวิเคราะห์ด้วยกล้องจุลทรรศน์อิเล็กตรอนแบบส่องผ่าน (TEM)

จากการศึกษาด้วยกล้องจุลทรรศน์อิเล็กตรอนแบบส่องผ่าน เรายพบว่า ท่อนาโนการ์บอน มีขนาดเส้นผ่านศูนย์กลางประมาณ 20-25 nm ท่อนาโนการ์บอนบางส่วนปิดคลุมด้วยโลหะแพลทินัมที่ใช้เคลือบพิเศษของตัวอย่างก่อนที่จะนำตัวอย่างไปศึกษาสมบัติด้วยกล้องจุลทรรศน์อิเล็กตรอนแบบส่องกราด ดังแสดงด้วยภาพที่ 4.10 เมื่อนำตัวอย่างไปศึกษาด้วยกล้องจุลทรรศน์อิเล็กตรอนแบบส่องผ่าน พบร่วมเป็นท่อนาโนการ์บอนชนิดผนังหลายชั้น ดังแสดงด้วยภาพที่ 4.11



ภาพที่ 4.10 แสดงท่อนาโนคาร์บอนที่ตรวจด้วยกล้องจุลทรรศน์อิเล็กตรอนแบบส่องผ่าน ท่อนาโนคาร์บอนมีขนาดเส้นผ่าศูนย์กลางประมาณ 25 nm บางส่วนของท่อนาโนคาร์บอนมีโลหะแพลทินัมเกาะติด ซึ่งเกิดจากการเคลือบทัวอย่างเพื่อศึกษาตัวอย่าง โดยกล้องจุลทรรศน์อิเล็กตรอนแบบส่องผ่าน



ภาพที่ 4.11 แสดงท่อนาโนการ์บอนผนังหลายชั้นที่ตรวจด้วยกล้องจุลทรรศน์อิเล็กตรอนแบบส่องผ่าน เส้นตรงสีดำคือผนังของท่อนาโนการ์บอนแต่ละชั้น

จากสมการที่ 2.2 ถ้าเราสามารถตั้งเคราะห์ให้ได้ท่อนาโนการ์บอนไปผลิตเป็นตัวปลดปล่อยอิเล็กตรอน ที่มีความยาวประมาณ $h = 25 \mu\text{m}$ และรัศมีโค้งที่ปลายของท่อนาโนการ์บอน $r = 25 \text{ nm}$ จะได้ค่า local field-enhancement factor $\beta = \frac{h}{r} = 1000$ ดังนั้นสามารถไฟฟ้าที่ปลายของตัวปลดปล่อยอิเล็กตรอน (E) จะเพิ่มขึ้นตาม สมการ $E = \beta \frac{\nu}{d}$ เป็น 1000 เท่า เมื่อใช้ท่อนาโนการ์บอนเป็นตัวปลดปล่อยอิเล็กตรอน ซึ่งจะทำให้ได้สนามไฟฟ้าที่มีความเข้มสูงมากในขณะที่แหล่งปล่อยอิเล็กตรอนแบบดั้งเดิม (conventional filed emitter) ที่ทำด้วยโลหะทั้งสเตนที่มีรัศมีความโค้งในระดับไมโครอน (10^{-6}) ไม่สามารถให้ค่า field-enhancing factor สูงในระดับนี้ได้ เนื่องจากโลหะทั้งสเตนที่มีรัศมีความโค้งในระดับไมโครอน⁵² (10^{-6})

บทที่ 5

สรุป

การสังเคราะห์ท่อนาโนคาร์บอนด้วยวิธีไอระเหยเคมี บนแผ่นฐานรอง Si ที่มีอนุภาคระดับนาโน ของเหล็กและนิกเกิลเป็นตัวเร่งปฏิกิริยา โดยการเตรียมขนาดของตัวเร่งปฏิกิริยาบนแผ่นฐานรองซิลิโคนด้วยวิธีไอระเหยความร้อน (thermal evaporation) ที่บรรยายกาศของแก๊ส氩กอน 200, 300 และ 400 mtorr จากนั้นนำแผ่นฐานรองที่ได้ไปปูกลท่อนาโนคาร์บอนที่อุณหภูมิประมาณ 800-1000 องศาเซลเซียส ศึกษาขนาดของอนุภาคตัวเร่งปฏิกิริยาโดยใช้ Atomic Force Microscope กล้องจุลทรรศน์อิเล็กตรอนแบบส่อง粒粒 จากนั้นทำการสังเคราะห์ท่อนาโนคาร์บอนโดยวิธีไอระเหยเคมี แล้วทำการศึกษารักษณะของท่อนาโนคาร์บอนด้วยกล้องจุลทรรศน์อิเล็กตรอนแบบส่อง粒粒 และศึกษานิodicของท่อนาโนคาร์บอนด้วยกล้องจุลทรรศน์อิเล็กตรอนแบบส่องผ่าน

เราประสบความสำเร็จในการท่อนาโนคาร์บอนด้วยวิธีไอระเหยเคมี บนแผ่นฐานรองซิลิโคน Si (001) ที่มีอนุภาคระดับนาโนของเหล็ก-นิกเกิลเป็นตัวเร่งปฏิกิริยา ด้วยขนาดของตัวเร่งปฏิกิริยาที่เหมาะสมสำหรับกระบวนการนี้มีค่าประมาณ 20-30 nm ซึ่งกล้องของกับการตกเคลือบสารสม thermal evaporation ที่ความดันแก๊สอาร์กอนประมาณ 300 mtorr อนุภาคของตัวเร่งปฏิกิริยาสามารถทำได้โดยการ anneal ที่เหมาะสมโดยใช้อุณหภูมิประมาณ 900 องศาเซลเซียส และ แก๊สไฮโดรเจนที่เจือจาง ด้วยอัตราการไหลของแก๊สไฮโดรเจนและแก๊สอาร์กอน ประมาณ 10 sccm และ 70 sccm ตามลำดับ ท่อนาโนคาร์บอนถูกปูกลบนฐานรองซิลิโคนที่ได้เคลือบด้วยตัวเร่งปฏิกิริยาเหล็ก-นิกเกิลด้วยวิธีไอระเหยเคมี อุณหภูมิระหว่าง 800-1000 องศาเซลเซียส เป็นเวลาประมาณ 30 นาที โดยมีแก๊สมีเทนเป็นแหล่งกำเนิดการบัน รูปร่างของท่อนาโนคาร์บอนขึ้นอยู่กับอุณหภูมิขณะปูกล ที่อุณหภูมิต่ำกว่า 900 องศาเซลเซียส ท่อนาโนคาร์บอนที่สังเคราะห์ได้ ส่วนใหญ่มีขนาดสั้น โค้งงอ มีการบอนไฟเบอร์เจือปนอยู่ทั่วไป ที่อุณหภูมิประมาณ 900 องศาเซลเซียส พบร่วงท่อนาโนคาร์บอนที่สังเคราะห์ได้มีลักษณะเป็นเส้นตรงและมีความยาวมากขึ้น โดยมีความยาวของท่อนาโนคาร์บอนส่วนใหญ่อยู่ระหว่าง 6-30 μm และมีการบอนไฟเบอร์ปนเปื้อนน้อยลง อย่างไรก็ตาม เมื่ออุณหภูมิการปูกลสูงขึ้นจะมีการบอนไฟเบอร์ปนมากขึ้น

ท่อนาโนคาร์บอนที่สังเคราะห์ได้เป็นท่อนาโนคาร์บอนชนิดผังหลาชั้น เส้นผ่านศูนย์กลางประมาณ 20-25 nm ด้วยเหตุนี้ จึงสามารถทำให้สัดส่วนความยาวต่อรัศมีความกว้าง (aspect ratio, h/r) มีค่ามากซึ่งอยู่ในระดับขนาด 1000 ซึ่งหากนำท่อนาโนคาร์บอนไปใช้เป็นแหล่ง

ปลดปล่อยอิเล็กตรอนจะสามารถเพิ่มความเข้มสนามไฟฟ้าได้เป็น 1000 เท่า เทคนิคการสังเคราะห์นี้สามารถนำไปพัฒนาเพื่อผลิตท่อ nano ในการบอนสำหรับอุปกรณ์ปลดปล่อยอิเล็กตรอนเนื่องจากสนามไฟฟ้าที่มีประสิทธิภาพได้

แนวทางการศึกษาวิจัยในอนาคต ควรศึกษาการปลูกถ่ายท่อนano ในการบอนในสนามไฟฟ้าเพื่อความคุณให้ได้ท่อนano ในการบอนเป็นเส้นตรงและจัดเรียงกันอย่างเป็นระเบียบเพื่อนำไปประยุกต์ใช้เป็นตัวปลดปล่อยอิเล็กตรอนสำหรับแหล่งกำเนิดอิเล็กซ์เรย์ และศึกษาวิธีการปลูกครรภ์บนท่อนano ในการบอนเพื่อให้มีขนาดใหญ่สามารถขยายขึ้นได้โดยการใช้กล้องจุลทรรศน์ (traditional optical microscope) เพื่อเป็นเข็ม (probe) สำหรับ AFM หรือเป็นแหล่งกำเนิดอิเล็กตรอนสำหรับการประยุกต์ใช้ที่จำเป็นต้องใช้คำอิเล็กตรอน (electron beam) ความเข้มสูง เช่น electron gun ของกล้องจุลทรรศน์อิเล็กตรอน

ເອກສາຮອ້າງອີງ

1. L. M. Liz-Mar  n and P. V. kamat, Kluwer, Nanoscale Materials. Academic Publishers. (2003).
2. ສູນບົນໄວໂນເທດໂນໂລຢີແຫ່ງໜາຕີ ສໍານັກງານພັດນາວິທະຍາຄາສຕຣີແລະເທດໂນໂລຢີແຫ່ງໜາຕີ. ຮ່າງແພນກລູທັນໄວໂນເທດໂນໂລຢີແຫ່ງໜາຕີ (ພ.ສ .2547-2556) ເສນອຄະະຮັມນຕີ 2548.
3. S. Iijima, Helical microtubules of graphitic carbon. *Nature* **354**, 56, (1991).
4. R. Martel, T. Schmidt, H. R. Shea, T. Hertel and Ph. Avouris, Single- and multi-wall carbon nanotube field-effect transistors. *Appl. Phys. Lett.* **73**, 2447 (1998).
5. P. J. Britto, K. S. V. Santhanam, A. Rubio, J. A. Alonso and P. M. Ajayan, Improved charge transfer at carbon nanotube electrodes. *Adv. Meter.* **11**, 154 (1999).
6. Y. B. Zhang, S. P. Lau, L. Huang and M. Tanemura, Carbon nanotubes synthesized by biased thermal chemical vapor deposition as an electron source in an x-ray tube. *Appl. Phys. Lett.* **86**, 123115 (2005).
7. G. Chai, Individual probes and field emitters : fabrication and their properties. Ph.D. Thesis. University of Central Florida, Orlando, Florida, USA. (2004).
8. B. P. Groning, P. Ruffieux, L. Schlapbach and O. Groning, Carbon nanotubes for clean energy applications. *Adv. Engineering materials.* **5**, 8 (2003).
9. G. E. Gamaly and T. W. Ebbesen, Mechanism of carbon nanotube formation in the arc discharge. *Phys. Rev. B* **52**, 2083 (1995).
10. T. Guo, P. Nikolaev, A. Thess, D. T. Colbert and R. E. Smalley, Catalytic growth of single-walled nanotubes by laser vaporization. *Chem. Phys. Lett.* **243**, 49 (1995).
11. S. Kleckley, G. Y. Chai, D. Zhou, R. Vanfleet and L. Chow, Synthesis of carbon nanotubes by electrochemical deposition at room temperature. *Carbon* **41**, 833 (2003).
12. N. M. Rodriguez, M. S. kim and R. T. K. Baker, Carbon Nanofibers: A unique catalyst support medium. *J. Phys. Chem.* **98**, 13108 (1994).
13. R. G. Lacerda, K. B. K. Teo, A. S. Teh, M. H. Yang, S. H. Dalal, D. A. Jefferson, J. H. Durrell, N. L. Rupesinghe, D. Roy, G. A. J. Amaralunga, W. I. Milne, F. Wyczisk, P. Legagneux and M. Chowalla, Thin-film metal catalyst for the production of multi-wall and single-wall carbon nanotubes. *J. Appl. Phys.* **96**, 4456 (2004).

14. Y. C. Choi, Shin Y. M, Y. H.Lee, B. S. Lee, G-S Park and W.B. Choi, et al. Controlling the diameter, growth rate, and density of vertically aligned carbon nanotubes synthesized by microwave plasma-enhanced chemical vapor deposition. *Appl. Phys. Lett.* **76**, 2367 (2000).
15. C. L. Cheung, A. Kurtz, H. Park and C. M. Lieber, Diameter-Controlled Synthesis of Carbon Nanotubes. *J. Phys. Chem. B* **106**, 2429 (2002).
16. Y. Li, J. Liu, Y. Wang and Z. L. Wang, Preparation of Monodispersed Fe-Mo Nanoparticles as the Catalyst for CVD Synthesis of Carbon Nanotubes. *Chem. Mater.* **13**, 1008 (2001).
17. T. Saipin, U. Tipparach and S. Pukird, The Effect of Temperature on the Growth of Carbon Nanotubes by Catalytic Chemical Vapor Deposition. 31st Congress on Science and technology of Thailand, **D0057** (2005).
18. B. I. Yakobson and R. E. Smalley, Fullerene nanotubes : $C_{1,000,000}$ and beyond. *Am. Sci.* **85**, 324 (1997).
19. M. F. Yu, B. S. Files, S. Areppalli and R. S. Rouff, Tensile Loading of Ropes of Single Wall Carbon Nanotubes and their Mechanical Properties. *Phys. Rev. Lett.* **84**, 5552 (2002).
20. P. G. Collins and P. Avouris, Nanotubes for Electronics. *Scientific American*. (2000).
21. P. L. McEuen, Single-wall Carbon nanotubes. *Phys. World*. June (2000).
22. M. S. Dresselhaus, G. Dresselhaus and R. Saoto, *Carbon* **33**, 883 (1995).
23. A. Yasuda, N. Kawase and W. Mizutani, Carbon-Nanotube Formation Mechanism Based on in Situ TEM Observations. *J. Phys. Chem. B* **106**, (51) 13294 (2002).
24. J. B. Park, G. Choi, S. Cho, Y. S. Hong, D. Kim, S. Y. Choi, J. H. Lee and K. I. Cho, Characterization of Fe-catalyzed carbon nanotubes grown by thermal chemical vapor deposition . *J. Cryst. Growth.* **244**, 211 (2002).
25. L. W. Nordheim, Pro. Roy. The Effect of the Image Force on the Emission and Reflexion of Electrons by Metals. *Soc. London, Ser. A* **121**, 626 (1928).
26. D. Rotman, The Nanotube Computer. *MIT's Tech. Rev.* March. 37 (2002).

27. V. Derycke, R. Martel, J. Appenzeller and Ph. Avouris, Controlling doping and carrier injection in carbon nanotube transistors. *Appl. Phys. Lett.* **80**, 2773 (2002).
28. P. M. Ajayan and O. Z. Zhou, Carbon Nanotubes, **80**, 391 (2001).
29. S. M. Lee, K. S. Park, Y. C. Choi, Y. S. Park, J. M. Bok, D. J. Bae, K. S. Nahm, Y. G. Choi, S. C. Yu, N. G. Kim, T. Frauenheim and Y. H. Lee, Hydrogen adsorption and storage in carbon nanotubes. *Synth. Met.* **113**, 209 (2000).
30. S. Farhat, M. L. La Chapelle, A. Loiseau, C. D. Scott, S. Lefrant, C. Journet and P. Bernier, Diameter control of single-walled carbon nanotubes using argon–helium mixture gases. *J. Chem. Phys.* **115**, (14) 6752 (2001).
31. T. W. Ebbesen and P. M. Ajayan, Large-scale synthesis of carbon nanotubes. *Nature*, **358**, 220 (1992).
32. C. Journet and P. Bernier, *Applied Physics A: Materials Science & Processing*. *Appl. Phys. A* **67**, 1 (1998).
33. T. Guo, P. Nikolaev, A. Thess, D. T. Colbert and R. E. Smalley, Catalytic growth of single-walled nanotubes by laser vaporization. *Chem. Phys. Lett.* **243**, 49 (1995).
34. M. Yudasaka, R. Yamada, N. Sensui, T. Wilkins, T. Ichihashi and S. Iijima, Ni and Co Catalysts on the Yield of Single-Wall Carbon Nanotubes Formed by Pulsed Nd:YAG Laser Ablation. *J. Phys. Chem. B* **103**, 30 (1999).
35. P. C. Eklund, B. K. Pradhan, U. J. Kim, Q. Xiong, J. E. Fischer, A. D. Friedman, B. C. Holloway, K. Jordan and M. W. Smith, Large-Scale Production of Single-Walled Carbon Nanotubes Using Ultrafast Pulses from a Free Electron Laser. *Nano Lett.* **2**, 561 (2002).
36. A. P. Bolshakov, S. A. Uglov, A. V. Saveliev, V. I. Konov, A. A. Gorbunov, W. Pompe and A. Graff, *Diamond and Related Materials*. **11**, 3 (2002).
37. W. K. Maser, E. Munoz, A. M. Benito, M. T. Martinez, G. F. de la Fuente, Y. Maniette, E. Anglaret and J. L. Sauvajol, Formation of single-walled carbon nanotube bundles using CO₂ laser vaporization of graphite. *Chem. Phys. Lett.* **292**, 587 (1998).
38. Z. F. Ren, Z. P. Huang, J. W. Xu and J. H. Wang, Synthesis of large arrays of well-aligned carbon nanotubes on glass. *Science (Washington, D.C.)* **282**, 5391 (1998).

39. S. B. Sinnot, R. Andrews, D. Qian, A. M. Rao, Z. Mao, E. C. Dickey and F. Derbyshire, Model of carbon nanotube growth through chemical vapor deposition Chem. Phys. Lett. **315**, 25 (1999).
40. Z. F. Ren, Z. P. Huang, D. Z. Wang, J. G. Wen, J. W. Xu, J. H. Wang, L. E. Calvet, J. Chen, J. F. Klemic and M. A. Reed, Growth of a single freestanding multiwall carbon nanotube on each nanonickel dot. Appl. Phys. Lett. **75**, 1086 (1999).
41. M. Yudasaka, R. Kikuchi, T. Matsui, Y. Ohki, S. Yoshimura and E. Ota, Specific conditions for Ni catalyzed carbon nanotube growth by chemical vapor deposition. Appl. Phys. Lett. **67**, (17) 2477 (1995).
42. M. Yudasaka, R. Kikuchi, Y. Ohki, E. Ota and S. Yoshimura, Behavior of Ni in carbon nanotube nucleation. Appl. Phys. Lett. **70**, (14) 1817 (1997).
43. Z. P. Huang, D. Z. Wang, J. G. Wen, M. Sennett, H. Gibson and Z. F. Ren, Effect of nickel, iron, and cobalt on growth of aligned carbon nanotubes. Appl. Phys. A **74**, 387 (2002).
44. J. I. Sohn, C. J. Choi, S. Lee and T.-Y. Seong, Growth behavior of Carbonnanotubes on Fe-deposited (001) Si substrates. Appl. Phys. Lett. **78**, (20) 3130 (2000)
45. S. Maruyama, S. Chiashi and Y. Miyauchi, Carbon Nanotube Synthesis. Thermal Engineering Joint Conference. **6**, (2003).
46. T. W. Ebbesen and P. M. Ajayan, Large-scale synthesis of carbon nanotubes. Nature. **358**, 220 (1992).
47. S. H. Jung, M. R. Kim, S. H. Jeong, S. U. Kim, O. J. Lee, K. H. Lee, J. H. Suh and C. K. Park, High-yield synthesis of multi-walled carbon nanotubes by arc discharge in liquid nitrogen. Appl. Phys. A **76**, 285 (2003).
48. M. Endo, K. Takeuchi, S. Igarashi, K. Kobori, M. Shiraishi and H. W. Kroto, Large scale synthesis, selective fabrication and applications of carbon nanotubes. J. Phys. Chem. Solids. **54**, 12 (1993).
49. H. D. Young, R. A. Freedman, T.R. Sandin and A. L. Frod, Physics university 9th-wesley publishing company, INC (1995).
50. P. M. Campbell, E. S. Snow and J. P. Novak, Simple catalyst for the growth of small-diameter carbon nanotubes. Appl. Phys. Lett. **81**, 4586 (2002).

51. S. A. Mosskalyov, A. L. D. Moreau, H. R. Gutierrez, M. A. Cotta and J. W. Swart, carbon nanotubes growth by chemical vapor deposition using thin film nickel catalyst. Mat. Sci. Eng. B **112**, 147 (2004).
52. P. F. Kane, Field ion microscope, characterization of solid surfaces edited by Philip F. Kane and Graydon B. Larrabee, Plenm Press, 133 (1974).

ประวัติผู้วิจัย

ชื่อ ประวัติการศึกษา	นางทิพวรรณ สายพิณ มัธยมศึกษาปีที่ 6 โรงเรียนวิจิตรพิทยา อ.วารินชำราบ จ.อุบลราชธานี พ.ศ. 2532 ปริญญาครุศาสตรบัณฑิต (ค.บ.) วิชาเอกวิทยาศาสตร์ทั่วไป สถาบันราชภัฏหมู่บ้านจอมบึง จ.ราชบุรี พ.ศ. 2536 ปริญญาครุศาสตรมหาบัณฑิต (ค.ม.) สาขาวิชา การพัฒนา หลักสูตรและการเรียนการสอน สถาบันราชภัฏอุบลราชธานี จ.อุบลราชธานี พ.ศ. 2546 ปริญญาวิทยาศาสตรมหาบัณฑิต (วท.ม.) สาขาวิชาฟิสิกส์ คณะวิทยาศาสตร์ มหาวิทยาลัยอุบลราชธานี พ.ศ. 2548 ประวัติการทำงาน สถานที่ทำงานในปัจจุบัน
	พ.ศ. 2537 ตำแหน่ง อาจารย์ 1 ระดับ 3 โรงเรียนบ้านคำพอง อ.โพธิ์ชัย จ.ร้อยเอ็ด พ.ศ. 2538 ตำแหน่ง อาจารย์ 1 ระดับ 3 โรงเรียนบ้านนาสามัคคี อ.น้ำเงิน จ.อุบลราชธานี พ.ศ. 2539 ตำแหน่ง อาจารย์ 1 ระดับ 3 วิทยาลัยเทคนิค อำนาจเจริญ อ.เมือง จ.อำนาจเจริญ 37000 ตำแหน่ง ครู คศ. 2 วิทยาลัยเทคนิคอำนาจเจริญ อ.เมือง จ.อำนาจเจริญ รหัสไปรษณีย์ 37000 โทรศัพท์ 045-511987 <u>E-mail : Tipss_2@hotmail.com</u>
	ระหว่างภาคฤดูร้อนปีการศึกษา 2547 ศึกษาวิจัยด้าน Nano science And Nanotechnology ที่ Department of Physics, University of Central Florida, Orlando, Florida, สหรัฐอเมริกา